

**UNIVERSIDAD CATÓLICA
DE SANTIAGO DE GUAYAQUIL
FACULTAD DE EDUCACIÓN TÉCNICA PARA EL DESARROLLO
CARRERA DE MEDICINA VETERINARIA Y ZOOTECNIA**

TEMA:

Prevalencia de patologías de tercer párpado o membrana nictitante en *Canis lupus familiaris* diagnosticados en dos clínicas veterinarias de la ciudad de Guayaquil

AUTORA:

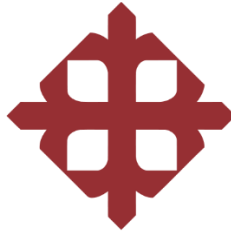
Manosalvas Ocaña, Andrea Alejandra

**Trabajo de Titulación previo a la obtención del título de Médica
Veterinaria Zootecnista**

TUTOR

Dr. Alarcón Ormaza, Joubert Edgar M. Sc.

**Guayaquil, Ecuador
14 de febrero del 2024**



UNIVERSIDAD CATÓLICA
DE SANTIAGO DE GUAYAQUIL

FACULTAD DE EDUCACIÓN TÉCNICA PARA EL DESARROLLO
CARRERA DE MEDICINA VETERINARIA Y ZOOTECNIA

CERTIFICACIÓN

Certificamos que el presente trabajo de **Prevalencia de patologías de tercer párpado o membrana nictitante en Canis lupus familiaris diagnosticados en dos clínicas veterinarias de la ciudad de Guayaquil**, fue realizado en su totalidad por **Manosalvas Ocaña, Andrea Alejandra**, como requerimiento para la obtención del título de **Médica Veterinaria Zootecnista**.

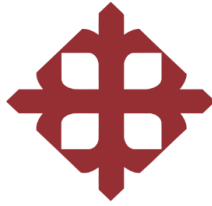
TUTOR

Dr. Alarcón Ormaza, Joubert Edgar M. Sc.

DIRECTORA DE LA CARRERA

Dra. Álvarez Castro, Fátima Patricia M. Sc.

Guayaquil, 14 de febrero del 2024



UNIVERSIDAD CATÓLICA
DE SANTIAGO DE GUAYAQUIL
FACULTAD DE EDUCACIÓN TÉCNICA PARA EL DESARROLLO
CARRERA DE MEDICINA VETERINARIA Y ZOOTECNIA

DECLARACIÓN DE RESPONSABILIDAD

Yo, **Manosalvas Ocaña, Andrea Alejandra**

DECLARO QUE:

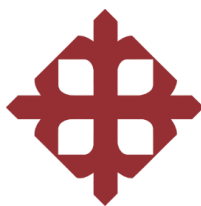
El Trabajo de Titulación, **Prevalencia de patologías de tercer párpado o membrana nictitante en Canis lupus familiaris diagnosticados en dos clínicas veterinarias de la ciudad de Guayaquil**, previo a la obtención del título de **Médica Veterinaria Zootecnista**, ha sido desarrollado respetando derechos intelectuales de terceros conforme las citas que constan en el documento, cuyas fuentes se incorporan en las referencias o bibliografías. Consecuentemente este trabajo es de mi total autoría.

En virtud de esta declaración, me responsabilizo del contenido, veracidad y alcance del Trabajo de Titulación referido.

Guayaquil, a los 14 días del mes de febrero del año 2024

LA AUTORA

Manosalvas Ocaña, Andrea Alejandra



UNIVERSIDAD CATÓLICA
DE SANTIAGO DE GUAYAQUIL

FACULTAD DE EDUCACIÓN TÉCNICA PARA EL DESARROLLO
CARRERA DE MEDICINA VETERINARIA Y ZOOTECNIA

AUTORIZACIÓN

Yo, **Manosalvas Ocaña, Andrea Alejandra**

Autorizo a la Universidad Católica de Santiago de Guayaquil a la **publicación** en la biblioteca de la institución el **Trabajo de Titulación Prevalencia de patologías de tercer párpado o membrana nictitante en Canis lupus familiaris diagnosticados en dos clínicas veterinarias de la ciudad de Guayaquil** cuyo contenido, ideas y criterios son de mi exclusiva responsabilidad y total autoría.

Guayaquil, a los 14 días del mes de febrero del año 2024

LA AUTORA:

Manosalvas Ocaña, Andrea Alejandra



UNIVERSIDAD CATÓLICA
DE SANTIAGO DE GUAYAQUIL

FACULTAD DE EDUCACIÓN TÉCNICA PARA EL DESARROLLO
CARRERA DE MEDICINA VETERINARIA Y ZOOTECNIA

CERTIFICADO COMPILATIO

La Dirección de la Carrera de Medicina Veterinaria revisó el Trabajo de Titulación, **Prevalencia de patologías de tercer párpado o membrana nictitante en Canis lupus familiaris diagnosticados en dos clínicas veterinarias de la ciudad de Guayaquil** presentado por el estudiante **Manosalvas Ocaña, Andrea Alejandra**, donde obtuvo del programa COMPILATIO, el valor de 0 % de coincidencias, considerando ser aprobada por esta dirección.

	CERTIFICADO DE ANÁLISIS
PREVALENCIA DE PATOLOGIAS DEL TERCER PÁRPADO EN CANIS LUPUS FAMILIARIS DIAGNOSTICADOS EN DOS CLINICAS VETERINARIAS EN LA CIUDAD DE GUAYAQUIL	
0% Textos sospechosos	
< 1% Similitudes (ignorado) 0% similitudes entre comillas 0% entre las fuentes mencionadas < 1% Idiomas no reconocidos (ignorado)	
Nombre del documento: PREVALENCIA DE PATOLOGIAS DEL TERCER PÁRPADO EN CANIS LUPUS FAMILIARIS DIAGNOSTICADOS EN DOS CLINICAS VETERINARIAS EN LA CIUDAD DE GUAYAQUIL.docx ID del documento: 8fb87c6ddb64c02087b911669802c91088f00a8 Tamaño del documento original: 5,94 MB	Depositante: Joubert Edgar Alarcón Ormaza Fecha de depósito: 13/2/2024 Tipo de carga: interface fecha de fin de análisis: 13/2/2024
Número de palabras: 14.244 Número de caracteres: 95.448	

Fuente: COMPILATIO-Usuario Alarcón Ormaza, 2024

Certifican,

Dra. Álvarez Castro, Fátima Patricia

M. Sc.

Directora Carrera Medicina Veterinaria

UCSG-FETD

Dr. Alarcón Ormaza, Joubert Edgar

M. Sc.

Revisor - COMPILATIO

AGRADECIMIENTO

Quiero empezar expresando mi sincero agradecimiento a mis padres, a mis hermanos, a mis tíos y tías. Agradezco a mi familia por su constante aliento y comprensión durante este periodo, su apoyo incondicional a lo largo de mi vida, paciencia, amor, sacrificio y compromiso con mi educación son la base sobre la cual construí este trabajo.

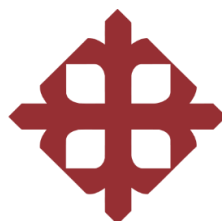
Mi profundo agradecimiento a dos pilares fundamentales en mi vida, mi amado esposo, Fernando Burbano, le agradezco por su paciencia, aliento constante y comprensión en cada etapa de este desafío. Tu apoyo inquebrantable ha sido mi mayor motivación. Gracias por ser mi refugio en los momentos difíciles y por celebrar cada logro conmigo.

Mis amados hijos, Emma y benjamín Burbano. Sus sonrisas, abrazos y palabras de aliento han iluminado mis días y han sido la razón por la que perseveraré en los momentos más exigentes, les agradezco por su paciencia y comprensión mientras dedicaba tiempo y esfuerzo a este proyecto. Cada paso que he dado en este viaje académico ha sido guiado por el deseo de construir un futuro mejor para ustedes.

Por último, quiero expresar mi gratitud a los docentes que estuvieron conmigo en este largo camino, a mi tutor quien contribuyó con valiosas sugerencias y comentarios constructivos que mejoraron la calidad de este trabajo. Este logro no es solo mío, sino el resultado de un esfuerzo colectivo.

DEDICATORIA

Este trabajo, va dedicado especialmente a mis padres y a todos mis queridos tíos y tías, cuya presencia y apoyo han sido una bendición a lo largo este viaje académico. Este logro es tanto suyo como mío, y dedico este trabajo a la familia que ha contribuido a mi crecimiento y éxito. Gracias por ser una parte esencial de mi historia y por iluminar mi camino, A cada uno de ustedes, les dedico este logro con profundo agradecimiento y reconocimiento.



**UNIVERSIDAD CATÓLICA
DE SANTIAGO DE GUAYAQUIL**

**FACULTAD DE EDUCACIÓN TÉCNICA PARA EL DESARROLLO
CARRERA DE MEDICINA VETERINARIA Y ZOOTECNIA**

TRIBUNAL DE SUSTENTACIÓN

Dr. Joubert Edgar Alarcón Ormaza M. Sc.

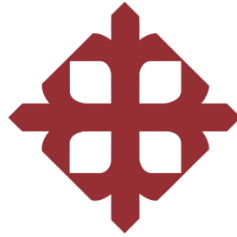
TUTOR

Dra. Fátima Patricia Álvarez Castro M. Sc.

DIRECTORA DE LA CARRERA

Dra. Melissa Joseth Carvajal Capa M. Sc.

COORDINADOR DE UTE



**UNIVERSIDAD CATÓLICA
DE SANTIAGO DE GUAYAQUIL**

**FACULTAD DE EDUCACIÓN TÉCNICA PARA EL DESARROLLO
CARRERA DE MEDICINA VETERINARIA Y ZOOTECNIA**

CALIFICACIÓN

Dr. Joubert Edgar Alarcón Ormaza M. Sc.

TUTOR

ÍNDICE GENERAL

RESUMEN	XVI
ABSTRACT	XVII
1 INTRODUCCIÓN	2
1.1 Objetivos.....	3
1.1.1 Objetivo general.....	3
1.1.2 Objetivos específicos.....	3
1.1.3 Preguntas de investigación:	3
1.2 Hipótesis de investigación.....	3
2 MARCO TEÓRICO	4
2.1 Anatomía y fisiología del globo ocular canino	4
2.1.1 Párpados.....	4
2.1.2 Conjuntiva.....	4
2.1.3 Tercer párpado o membrana nictitante.....	5
2.1.4 Retina.....	5
2.1.5 Esclerótica.....	5
2.1.6 Úvea.....	6
2.1.7 Cristalino.....	7
2.1.8 Cuerpo vítreo.....	7
2.1.9 Córnea.....	8
2.1.10 Humor acuoso.....	8
2.2 Anatomía y fisiología del tercer párpado o membrana nictitante	
9	
2.3 1ºPredisposición genética.....	10
2.6 Patologías del tercer párpado	12
2.6.1 Prolapso del tercer párpado.....	12
2.6.2 Conjuntivitis folicular.....	13
2.6.3 Eversión del cartílago de la membrana nictitante.....	14
2.6.3.1 <i>Etiología</i>	14
2.6.3.2 <i>Signos o síntomas</i>	15
2.6.3.3 <i>Tratamiento</i>	15

2.6.5 Neoplasias.	15
2.6.7 Síndrome de Horner.	17
2.6 Métodos de evaluación y diagnóstico.	19
2.6.1 Examen clínico.	19
2.6.2 Examen oftalmológico.	19
2.6.3 Exámenes complementarios.	19
3 MARCO METODOLÓGICO.....	24
3.6 Ubicación de la investigación.....	24
3.6.5 Características climáticas.	25
3.7 Materiales	25
3.8 Tipo de estudio	26
3.9 Población y muestra de estudio	26
3.10 Análisis estadístico	27
3.11 Método de abordaje.....	27
3.11.5 Recopilación de la muestra.....	27
3.11.6 Abordaje clínico oftalmológico.	27
3.12 Variables para estudiar / de investigación.....	28
3.12.5 Variable dependiente.....	28
3.12.6 Variables independientes.	29
4. RESULTADOS.....	30
4.1 Prevalencia de las patologías del tercer párpado en <i>Canis lupus familiaris</i> atendidos en dos clínicas veterinarias en la ciudad de Guayaquil	30
4.2. Caracterización de la población de estudio de acuerdo con las variables de sexo, edad, tenencia y raza	30
4.2.1 Frecuencia de las patologías del tercer párpado en relación con las variables en general de la población en estudio. .	30
4.2.2 Frecuencia de la patología del prolapso del tercer párpado en relación con las variables sexo, edad, tenencia y raza en la población en estudio	34

4.2.3 Frecuencia de la patología conjuntivitis folicular en relación con las variables sexo, edad, tenencia y raza de la población de estudio.....	37
4.2.4 Frecuencia de la patología eversión del cartílago en relación con las variables sexo, edad, tenencia y raza de la población de estudio.....	40
4.2.5 Frecuencia de la patología síndrome de Horner en relación con las variables sexo, edad, tenencia y raza de la población de estudio.....	42
4.2.6 Frecuencia de la patología neoplasias en relación con las variables sexo, edad, tenencia y raza de la población de estudio.....	45
4.3 Exámenes clínicos y oftalmológicos realizados en la población estudiada.....	47
4.4 Relación de las patologías del tercer párpado con las variables sexo, raza, edad y tenencia.....	49
4.4.1 Relación de las patologías del tercer párpado con la variable sexo.....	49
4.4.2 Relación de las patologías del tercer párpado con la variable razas.....	50
4.4.3 Relación de las patologías del tercer párpado con la variable edad.....	51
4.4.4 Relación de las patologías del tercer párpado con la variable tenencia.....	52
5. DISCUSIÓN	54
6. CONCLUSIONES Y RECOMENDACIONES	56
6.1 Conclusiones.....	56
6.2 Recomendaciones	58
REFERENCIAS BIBLIOGRÁFICAS	59
7. ANEXOS.....	64

ÍNDICE DE FIGURAS

Figura 1 Anatomía intraocular	7
Figura 2 Anatomía del globo ocular canino	8
Figura 3 Anatomía de la conjuntiva y el tercer párpado	9
Figura 4 Anatomía del tercer párpado.....	10
Figura 5 Prolapso del tercer párpado en canino	13
Figura 6 Conjuntivitis folicular en canino	14
Figura 7 Eversión del cartílago en canino	15
Figura 8 Adenoma de la glándula de meibomio en canino.....	17
Figura 9 Síndrome de Homer en canino	18
Figura 10 Ubicación geográfica de la clínica veterinaria Zoomedikal.....	24
Figura 11 Ubicación geográfica de la clínica veterinaria Animalopolis.....	25
Figura 12 Prevalencia de patologías en <i>Canis lupus familiaris</i>	30
Figura 13 Frecuencia relativa del sexo en la población estudiada.....	31
Figura 14 Frecuencia relativa de la raza en la población estudiad.	31
Figura 15 Frecuencia relativa de la tenencia en la población estudiada... 32	
Figura 16 Frecuencia relativa de razas con patologías del tercer párpado.	33
Figura 17 Frecuencia relativa de patologías que presentó la población estudio.....	34
Figura 18 Frecuencia del prolapso del tercer párpado de los caninos según la raza.	35
Figura 19 Frecuencia relativa de sexo en el prolapso del tercer párpado.36	
Figura 20 Frecuencia relativa de tenencia en el prolapso del tercer párpado.....	36
Figura 21 Frecuencia relativa de edad en el prolapso del tercer párpado.	37

Figura 22 Frecuencia Relativa de razas con conjuntivitis folicular.....	38
Figura 23 Frecuencia relativa de sexo en caninos con conjuntivitis folicular.....	38
Figura 24 Frecuencia de tenencia en caninos con conjuntivitis folicular..	39
Figura 25 Frecuencia relativa de edad en caninos con conjuntivitis folicular.....	39
Figura 26 Frecuencia relativa de razas en caninos con eversión del cartílago.....	40
Figura 27 Frecuencia relativa de sexo en caninos con eversión del cartílago.....	41
Figura 28 Frecuencia relativa de tenencia en caninos con eversión del cartílago.....	41
Figura 29 Frecuencia relativa de edad en caninos con eversión del cartílago.....	42
Figura 30 Frecuencia relativa de raza en caninos con síndrome de Horner.	43
Figura 31 Frecuencia relativa de sexo en caninos con síndrome de Horner.	43
Figura 32 Frecuencia relativa de edad en caninos con síndrome de Horner.	44
Figura 33 Frecuencia relativa de tenencia en caninos con síndrome de Horner.	44
Figura 34 Frecuencia relativa de raza en caninos con neoplasias.....	45
Figura 35 Frecuencia relativa de sexo de en caninos con neoplasias.....	46
Figura 36 Frecuencia relativa de tenencia en caninos con neoplasias.....	46
Figura 37 Frecuencia relativa de edad en caninos con neoplasias.....	47
Figura 38 Examen clínico y Examen oftalmológico realizados en población de estudio.....	48
Figura 39 Exámenes complementarios de los caninos en el área de oftalmología.....	49

Figura 40 chi cuadrado de patologías de tercer párpado en relación a sexo.	49
Figura 41 Chi cuadrado de patologías de tercer párpado por edad.	51
Figura 42 chi cuadrado chi cuadrado de patologías de tercer párpado por tenencia.	52

INDICE DE TABLAS

Tabla 1. Predisposición genética	12
Tabla 2. Neoplasias del tercer párpado	16
Tabla 3. Tipos de exámenes y sus características	19

RESUMEN

El tercer párpado en perros, también conocido como membrana nictitante, es una estructura membranosa situada en la esquina interna del ojo, desempeñando funciones cruciales en la protección y lubricación ocular. A pesar de su importancia, puede verse afectado por diversas patologías, incluyendo prolapso, conjuntivitis folicular, entre otras. Este estudio, de naturaleza observacional, descriptiva y correlacional, tiene como objetivo principal determinar la prevalencia de patologías del tercer párpado en caninos diagnosticadas en dos clínicas veterinarias en Guayaquil. La muestra abarcó a 270 caninos atendidos en estas clínicas a los cuales se les realizó exámenes minuciosos clínicos y oftalmológicos, posteriormente se recopiló la información de las patologías y variables como edad, sexo, tenencia y raza. El resultado de la prevalencia dio como resultado que del 100 % de la población de estudio, el 37 % presentaron patologías del tercer párpado. Se empleó el análisis de chi-cuadrado y el programa SPSS con la finalidad de obtener un análisis estadístico detallado. Los resultados revelaron que la variable sexo no contribuyó significativamente a la variabilidad observada en la presencia de patologías oftálmicas. El prolapso del tercer párpado se destacó como la patología más frecuente. En cuanto a la edad, el grupo de mayores de 6 años mostró el porcentaje más alto.

Palabras Clave: prolapso, glándula lacrimal, caninos, tercer párpado, glándula nictitante.

ABSTRACT

The third eyelid in dogs, also known as the nictitating membrane, is a membranous structure located in the inner corner of the eye, performing crucial functions in eye protection and lubrication. Despite its importance, it can be affected by various pathologies, including prolapse, follicular conjunctivitis, among others. This observational, descriptive, and correlational study aims to determine the prevalence of third eyelid pathologies in canines diagnosed in two veterinary clinics in Guayaquil. The sample included 270 canines treated in these clinics, who underwent thorough clinical and ophthalmological examinations. Subsequently, information on pathologies and variables such as age, sex, ownership, and breed was collected. The prevalence result showed that out of the 100 % of the study population, 37 % presented third eyelid pathologies. Chi-square analysis and the SPSS program were used to obtain a detailed statistical analysis. The results revealed that the sex variable did not contribute significantly to the observed variability in the presence of ophthalmic pathologies. Prolapse of the third eyelid stood out as the most frequent pathology, regarding age, the over 6 years group showed the highest percentage.

Keywords: prolapse, lacrimal gland, canines, third eyelid, nictitating gland.

1 INTRODUCCIÓN

En la medicina veterinaria se puede encontrar diferentes ramas, una de ellas es la oftalmología, considerada una de las más importantes, debido a que estudia la anatomía, fisiología, patologías, diagnósticos y tratamientos del globo ocular de los animales.

Los perros y los gatos poseen tres párpados, dos son totalmente visibles que corresponden a los párpados superiores e inferiores que están cubiertos de pelo mientras que el tercer párpado se encuentra ubicado oculto junto a la zona lagrimal. Este tercer párpado también llamado membrana nictitante posee una fina película color blanquecina que se propaga hacia el ojo y en cada parpadeo retrocede, y se encuentra oculto bajo los dos párpados externos.

El tercer párpado tiene como función eliminar cuerpos extraños, aporta hidratación y aumenta la protección del globo ocular. Muchas veces es difícil poder ver esta membrana, una de las maneras en la que se la puede distinguir es cuando tienen una pequeña lesión en el ojo o incluso cuando el animal esta recién despierto y somnoliento.

Existen patologías en la membrana nictitante como el prolapso del tercer párpado, conjuntivitis folicular, neoplasias o tumores, eversión del cartílago entre otras, estas enfermedades se dan por diferentes motivos, algunos por traumatismos, infecciones, inflamaciones, neoplasias, debilidad de los tejidos, es necesario llevar un control siempre con un médico veterinario porque si no se tratan estas pueden empeorar dando como resultado que se generen otras patologías como úlceras, conjuntivitis, ojo seco, infecciones y edemas.

Algunas de estas patologías tienen predisposición genética, es decir que hay ciertos caracteres genéticos y anatómicos que van a influir en la aparición o en el desarrollo de estas enfermedades, como, por ejemplo, raza y edad.

El objetivo principal de esta investigación es poder determinar la prevalencia de las patologías del tercer párpado o membrana nictitante en caninos.

1.1 Objetivos

1.1.1 Objetivo general.

Determinar la prevalencia de patologías del tercer párpado o membrana nictitante *Canis lupus familiaris* diagnosticados en dos clínicas veterinarias en la ciudad de Guayaquil.

1.1.2 Objetivos específicos.

- Diagnosticar mediante examen clínico y oftalmológico la presencia de patologías en el tercer párpado o membrana nictitante en pacientes caninos atendidos en dos clínicas veterinarias en la ciudad de Guayaquil, Zoomedikal y Animalopolis.
- Relacionar las patologías del tercer párpado con las variables predisponentes tales como raza, edad, tenencia y sexo de los caninos en estudio.

1.1.3 Preguntas de investigación:

- ¿En qué edades, razas, tenencia y sexo tiene mayor prevalencia las patologías del tercer párpado en caninos atendidos en las clínicas veterinarias Zoomedikal y Animalopolis?

1.2 Hipótesis de investigación

H0: Hipótesis nula: No se observaron diferencias significativas en las patologías del tercer párpado en caninos atendidos en las clínicas veterinarias Animalopolis y Zoomedikal de acuerdo las variables a edad, raza, sexo y tenencia

H1: Hipótesis alternativa: Se observaron diferencias significativas en las patologías del tercer párpado en caninos atendidos en las clínicas veterinarias Animalopolis y Zoomedikal de acuerdo con edad, raza, sexo y tenencia.

2 MARCO TEÓRICO

2.1 Anatomía y fisiología del globo ocular canino

El ojo del canino consta de varias estructuras, como la córnea, pupila, cristalino y retina, que trabajan juntas para permitir una visión adecuada. Estas componentes desempeñan funciones clave en la acomodación visual, la regulación de la luz y la formación de imágenes, contribuyendo a la salud ocular del animal. (Slatter, 1992)

La capacidad de los seres vivos para interpretar su entorno mediante la luz es conocida como visión. Este proceso implica a los ojos, las conexiones neuronales y la corteza visual. El ojo, un órgano altamente especializado con forma prácticamente esférica, desempeña un papel fundamental en este proceso. Su principal función radica en enfocar la imagen en la retina y regular la cantidad de luz que llega a ella, previniendo así posibles distorsiones ópticas y asegurando una óptima nitidez visual (Laguna & Sanz, Oftalmología 3D en el perro, 2021).

2.1.1 Párpados.

Los párpados están compuestos por párpado superior y párpado inferior los cuales se unen al pestañar, están ubicados en la superficie externa del ojo, El párpado superior posee un músculo que es denominado músculo elevador del párpado superior, en este músculo se encuentran fibras musculares lisas que pertenecen al músculo Moller que pertenece al músculo orbital, dichas fibras son controladas por el sistema nerviosa simpática, esto quiere decir que el párpado superior puede elevarse sin control consciente (López, 2020).

2.1.2 Conjuntiva.

La conjuntiva es una membrana mucosa delgada, móvil, elástica y transparente que cubre la superficie interna de los párpados, las superficies interna y externa de la membrana nictitante

y la parte inferior del globo ocular adyacente al limbo. La conjuntiva consta de dos partes adyacentes: la conjuntiva palpebral, que forma la capa más cercana a los párpados, se extiende hasta la frente y continúa formando la conjuntiva bulbar por encima del globo ocular. La función principal de la conjuntiva es proteger los ojos (Laguna & Sanz, Oftalmología 3D en el perro, 2021).

2.1.3 Tercer párpado o membrana nictitante.

El tercer párpado o membrana nictitante es una estructura cartilaginosa que tiene una forma de T, se encuentra ubicado entre la córnea y el párpado inferior en lo que es la porción nasal del saco conjuntival superior y el tercer párpado es una estructura móvil que presenta cuatro partes que son las siguientes: la glándula de la membrana nictitante, esqueleto cartilaginoso, cobertura conjuntival y los folículos linfoides superficiales. Aproximadamente el 35 % de la producción de la película lagrimal acuosa se debe a la glándula seromucoide (Tobias & Johnston, Cirugía veterinaria en pequeños animales 2da edición, 2023).

2.1.4 Retina.

La retina se encuentra ubicada en el globo ocular en la parte posterior, y se puede encontrar el vítreo y la coroides en la cara posterior. La retina está conformada por capas que son: el epitelio pigmentario retiniano también conocido como "EPR" y la retina neurosensorial, la cual tiene más capas que son: capa nuclear externa, capa de fotorreceptores, membrana limitante externa e interna, capa plexiforme externa e interna, capa nuclear interna, capa de células ganglionares, capa de fibras del nervio óptico (Gelatt, 2022).

2.1.5 Esclerótica.

Es una capa externa de consistencia dura que se encuentra en el ojo que tiene color blanco, la conjuntiva es una membrana que rodea y envuelve a esta capa, tiene una apariencia de color negro o marrón oscuro debido a que posee un revestimiento de depósitos de

melanina. Se puede encontrar tres capas que son: la esclerótica propia, la epiesclerótica y por último la lámina fusca (Lau-Choleón, 2002) (Merelo, 2022).

2.1.6 Úvea.

La úvea se encarga de formar la túnica vascular del ojo y consta de tres partes: el iris, el cuerpo ciliar y la coroides. La úvea anterior está formada por el iris y en su parte anterior de los cuerpos ciliares, y la coroides forma la parte posterior de la úvea (Alba Galán et al., 2021).

El cuerpo ciliar es una estructura de forma redonda y consistente que se localiza en el borde del ojo y ejerce control sobre la configuración del cristalino. Se encuentra en la parte posterior del iris y presenta pliegues conocidos como procesos ciliares en su parte frontal. El cuerpo ciliar se halla recubierto por un tejido epitelial doble y cuenta con un músculo en su base compuesto por fibras de músculo liso, las cuales son reguladas por el sistema parasimpático (Laguna & Sanz, Oftalmología 3D en el perro, 2021).

El iris, que se extiende desde el cuerpo ciliar, forma parte de la capa media del ojo. Su presencia abarca parcialmente la superficie anterior del cristalino y es responsable de definir el orificio a través del cual se percibe la visión, conocido como la pupila. Gracias al iris, el espacio interno del ojo se divide en una cámara anterior y una cámara posterior, las cuales se encuentran interconectadas a través de la pupila (König & Liebich, 2005).

La coroides es una capa vascular situada en la parte posterior del ojo, encargada de proveer de sangre a la retina externa. Esta última, por su parte, es una región con una alta actividad metabólica y una dependencia crucial del suministro de oxígeno. Además de esto, la coroides contiene melanocitos y actúa como un recubrimiento pigmentado, desempeñando así un papel fundamental en la reducción del reflejo de la luz interna. Asimismo, cumple la función de ser un

"sumidero" que atrapa los radicales libres (Laguna & Sanz, Oftalmología 3D en el perro, 2021).

2.1.7 Cristalino.

El cristalino es un cuerpo biconvexo, avascular y transparente, se encuentra ubicado justo detrás del iris, una de sus funciones es cambiar de forma para poder enfocar la luz en la retina, los músculos ciliares que son los músculos más pequeños se contraen para que el cristalino pueda cambiar de tamaño, es decir se vuelva más gruesa, lo que va a dejar que el cristalino pueda enfocar objetos que se encuentren más cerca, y estos músculos cuando se relajan el cristalino se vuelve más delgado para enfocar objetos lejanos (Gelatt, 2022).

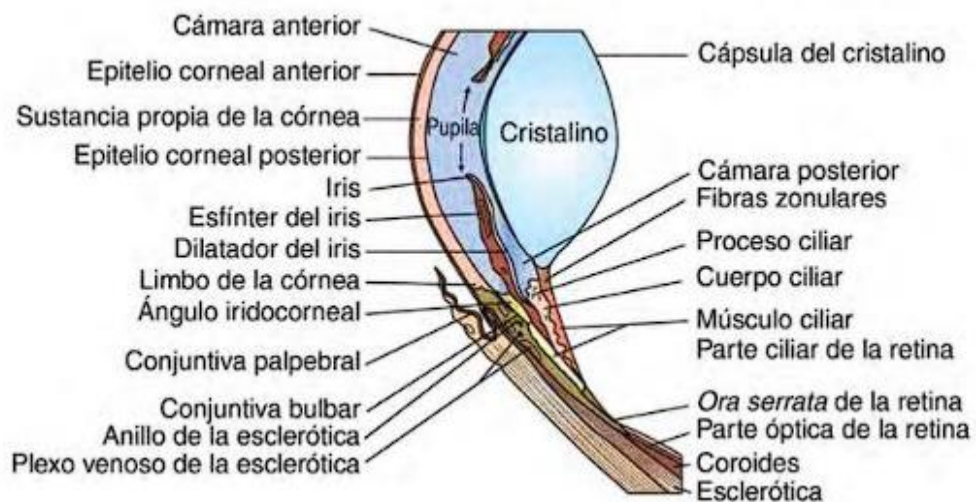


Figura 1 Anatomía intraocular

Fuente: Fossum (2019).

2.1.8 Cuerpo vítreo.

El cuerpo vítreo tiene una estructura con diferentes características tales como: transparente, gelatinosa y avascular, esta última ocupa la cámara vítrea del globo ocular. La forma de acceder al cuerpo vítreo es por medio de la esclerótica o a través del cristalino (López, 2020).

2.1.9 Córnea.

La córnea es una membrana y es la primera en tener contacto con el aire, es un tejido transparente que se encuentra encima del globo ocular. Tiene 5 capas: película lagrimal precorneal, epitelio y su membrana basal, estroma, membrana de Descemet y endotelio. La sensibilidad corneal es el factor protector más importante cuando el ojo experimenta dolor, una de las características más importantes es que transmite y permite que la luz se pueda enfocar en la retina (Dauvergne & Desachy, 2018) (Martin, Pickett, & Spiess, 2019).

2.1.10 Humor acuoso.

El humor acuoso se forma por ultrafiltración, por secreción activa y por último por la difusión simple que hay en los procesos del cuerpo ciliar, el humor acuoso ingresa en las dos cámaras, primero pasa por la posterior para luego a través de la pupila ingresar a la cámara anterior y posteriormente abandonar el globo ocular por medio de la malla trabecular córneo-esclera y por el flujo de salida úveoescleral. Los nutrientes y la eliminación de producto de desecho de la córnea y del cristalino se da por el flujo continuo (Gellat, 2013)

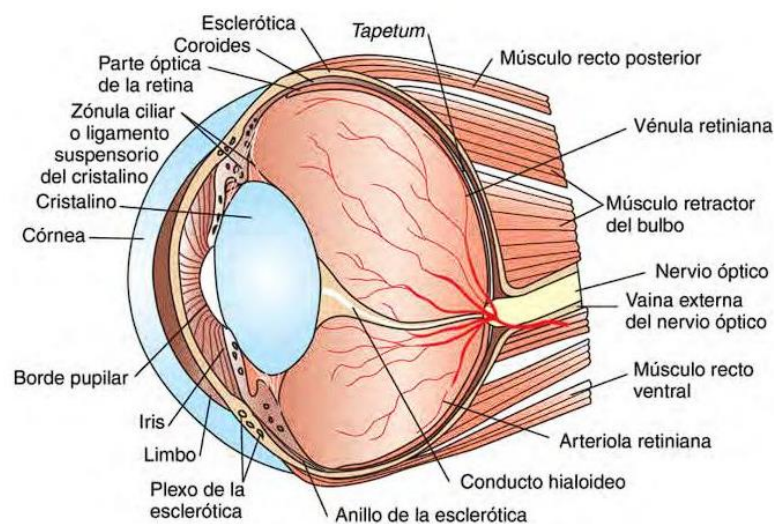


Figura 2 Anatomía del globo ocular canino
Fuente: Fossum (2019).

2.2 Anatomía y fisiología del tercer párpado o membrana nictitante

El tercer párpado también conocido como membrana nictitante o pliegue semilunar conjuntival, esta membrana es rica en diferentes tejidos como linfáticos, elásticos y glandular, y surge en la porción ventromedial anterior de la órbita, el tercer párpado indica que es un repliegue conjuntival que consta de un esqueleto cartilaginoso que tiene la forma de una T y que la cara interna se encuentra cubierta por la conjuntiva bulbar y la cara externa por la conjuntiva palpebral (Flores et al., 2008).

El tercer párpado es una estructura móvil, protectora y glandular que se encuentra entre la córnea y el párpado inferior en la porción medial del párpado inferior del saco conjuntival que es el espacio entre el bulbar y el palpebral. El tercer párpado está mal desarrollado en humanos y animales domésticos, excepto en camellos, debido a la protección de la córnea de la arena. Pero muy desarrollada en aves (Hassaan, 2021).

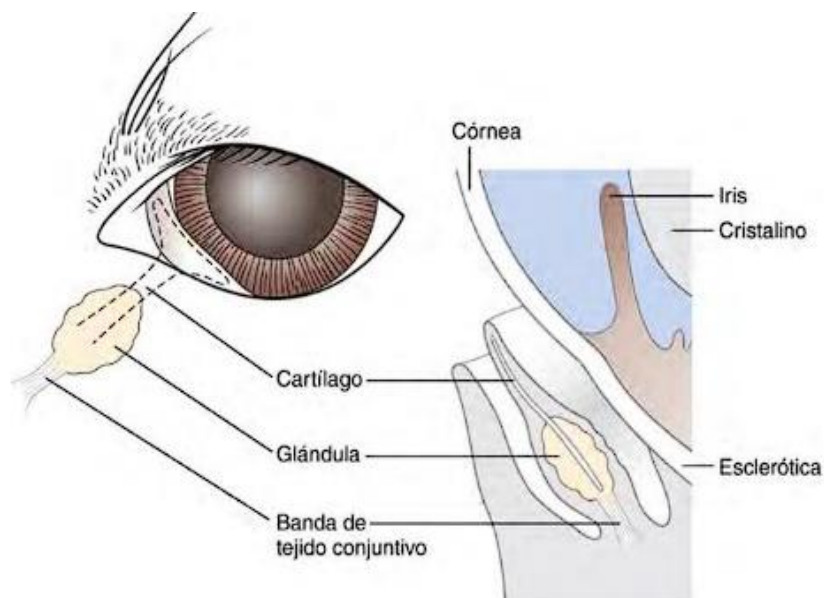


Figura 3 Anatomía de la conjuntiva y el tercer párpado
Fuente: Fossum (2019).

Con el fin de llevar a cabo una exploración adecuada, es imperativo examinar minuciosamente tanto la porción anterior como

la posterior de la conjuntiva después de ejercer presión sobre el globo ocular hacia atrás a través del párpado superior. (José T. et al., 2020).

El perro tiene un tercer párpado que cuenta con una glándula lagrimal adicional en ambos lados del cartílago. En la base de esta glándula, se pueden observar fibras musculares, y en la superficie del ojo existen folículos linfáticos. El tamaño del tercer párpado puede variar entre 10 y 13 mm, y su movimiento es controlado por el músculo retractor del globo ocular (José T. et al., 2020).

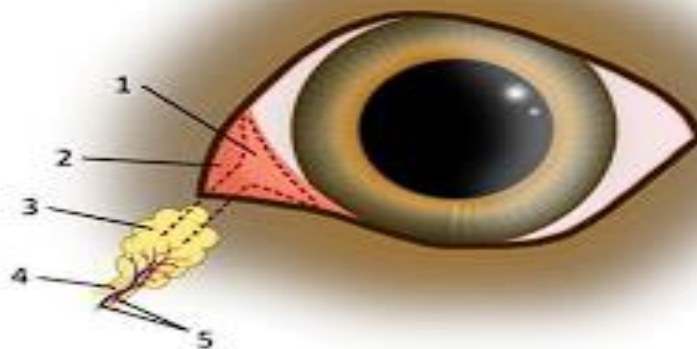


Figura 4 Anatomía del tercer párpado.

Fuente: Bravo (2013).

Nota: 1. Cartílago 2. Conjuntiva 3. Glándula del tercer párpado 4. Retináculo facial 5. Vasos sanguíneos.

2.3 1ºPredisposición genética

El prolapso de la glándula, también conocido como "ojo de cereza", es la alteración más común en el tercer párpado. Esta condición se caracteriza por el aumento de tamaño e inflamación de la glándula, debido a la incapacidad del tejido conjuntival bulbar y los tejidos circundantes para mantenerla en su lugar. Por lo general, solo afecta a un ojo y suele ocurrir durante el primer año de vida, aunque es poco frecuente que se presente en ambos ojos (Slatter D. , 2005, Plummer C, 2008).

En ciertas razas caninas como el Cocker Spaniel, Basset Hound, Beagle, Shit zu, Pekinés, Bull dog inglés, Mastín napolitano y otras, la estructura anatómica ocasiona una exposición notable de los ojos y una constante caída de los párpados inferiores. El tercer párpado puede verse afectado por enfermedades congénitas, como la eversión del cartílago, así como adquiridas, como el prolapso de la glándula, la conjuntivitis folicular y las neoplasias. La mayoría de los casos ocurren en animales jóvenes menores de 2 años (Flores P et al., 2008, Plummer C et al., 2008 & Junaid M et al., 2020).

En un estudio retrospectivo que abarcó 155 casos, los cuales incluyeron a 114 perros, se registraron datos cruciales como la raza, el sexo y la edad en el momento de la primera aparición del prolapso de la glándula nictitante. Estudios previos, como los realizados por (Plummer C, 2008) y otros autores no lograron respaldar una predisposición sexual en relación con la patología en cuestión. Al contrario de los resultados de este estudio indican que los machos estaban sobrerrepresentados, con 65 % de los casos y las hembras , con el 35 % por ciento (S. Mazzucchelli, 2012).

En los últimos años, se ha observado un incremento en la popularidad de los Bulldogs ingleses como mascotas. Estos perros, que son braquiocefálicos, han experimentado cambios genéticos a lo largo del tiempo, dando lugar a una serie de problemas de salud y volviéndolos propensos a diversas enfermedades, entre las que se incluye el prolapso del tercer párpado. Se suman a la categoría de razas braquicéfalas otros perros como el Bulldog francés, Shih Tzu, Boxer, Pekinés y Boston Terrier (Fawcett, Barrs, Awad, Child, & al., 2019).

Los tumores en los párpados son comunes en perros de edad avanzada. La mayoría suele ser de naturaleza benigna. Es frecuente que los dueños no aborden estas masas y busquen atención veterinaria solo cuando aparecen signos de irritación en la córnea o

cuando hay afectación del conducto nasolagrimal (Romairone et al., 2021).

Tabla 1. Predisposición genética

Patologías del tercer párpado	Edad	Razas afectadas
Prolapso del tercer párpado, Eversión del cartílago, conjuntivitis Folicular y Neoplasias.	<2	Cocker spaniel, Basset Hound, Beagle, Shitzu, Pekínés, Bull dog inglés, Bóxer y otras.

Fuente: Flores P et al.(2008);Plummer C et al. (2008)

Elaborado: La Autora

2.6 Patologías del tercer párpado

2.6.1 Prolapso del tercer párpado.

2.6.1.1 Etiología.

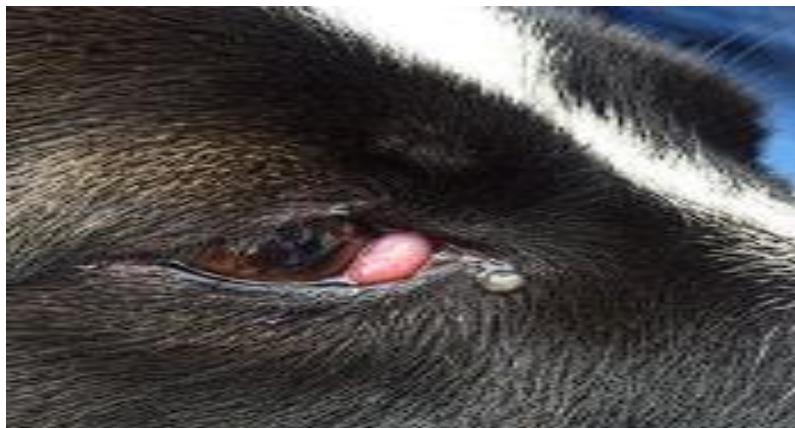
El prolapso de la glándula nictitante del tercer párpado o también conocido como “cherry eye” es una patología que se encuentra comúnmente en los veterinarios, particularmente existen razas predispuestas, y se puede definir como un afloramiento de la glándula del tercer párpado que se manifiesta por hinchazón glandular, hiperemia y aumento del volumen glandular (Junaid M et al., 2020).

2.6.1.2 Signos o síntomas.

Los signos clínicos revelan una masa rosada-rojiza en el ángulo naso-medial del ojo, acompañada de secreción mucosa o serosa y conjuntivitis. Estos indicadores son cruciales para la identificación y diagnóstico de la condición oftálmica en cuestión (Raymundi A et al., 2023).

2.6.1.3 Tratamiento.

El manejo preoperatorio profiláctico con colirios antibióticos y/o antiinflamatorios, con posterior reposicionamiento de la glándula del tercer párpado. El pronóstico es bueno según la técnica elegida, como la técnica de bolsillo de Morgan que es una de las más preferidas en estos casos (Junaid M et al., 2020, Raymundi A et al., 2023).



Ç

Figura 5 Prolapso del tercer párpado en canino
Fuente: Chaux et al. (2017).

2.6.2 Conjuntivitis folicular.

2.6.2.1 Etiología.

La conjuntivitis folicular se debe a una estimulación antigénica crónica con tendencia a resolverse espontáneamente, este tipo de conjuntivitis se observa especialmente en razas grandes y jóvenes (menos de 18 meses de edad), los perros y aquellos con fondos de saco conjuntivales profundos parecen estar predispuestos (Cerrada I et al., 2023, Heinrich, 2015).

2.6.2.2 Signos o síntomas.

En esta inflamación los pacientes presentan signos clínicos y los más comunes ante esta reacción conjuntival son: malestar, edema, secreción ocular mucoide a purulenta y por último hiperemia conjuntival, en ocasiones también se observa una marcada formación de folículos en la cara posterior del tercer párpado, para llegar a un diagnóstico definitivo se debe realizar una citología conjuntival en la cual se puede observar los linfocitos (Heinrich, 2015, Fernando laguna, 2021).

2.6.2.3 Tratamiento.

El tratamiento que responde muy bien para esta enfermedad es utilizar tópico con corticoesteroides, pero a veces este tratamiento no se observa una mejora o una respuesta, y en este caso se recomienda el desbridamiento de los folículos, en este procedimiento se utiliza anestesia tópica en el paciente y también hisopo de algodón (Laguna & Sanz, Oftalmología 3D en el perro, 2021) (Nélida V, 2020).



Figura 6 Conjuntivitis folicular en canino
Fuente: Weidner (2021).

2.6.3 Eversión del cartílago de la membrana nictitante.

2.6.3.1 Etiología.

La eversión del cartílago se da frecuentemente en caninos de razas grandes, esta patología puede ser hereditaria en algunas razas como en el Braco alemán de pelo corto, se puede encontrar esta

alteración en perros jóvenes generalmente antes del primer año de vida, esto se podría dar también por un crecimiento anormal entre cartílago y conjuntiva (Karen M. et al., 2023).

2.6.3.2 Signos o síntomas.

La identificación del cartílago invertido es factible al notar un pliegue hacia la región rostral del borde libre de la membrana nictitante. Esta peculiaridad anatómica conlleva a que la cara bulbar del ojo quede expuesta. Este fenómeno puede ser de relevancia clínica, ya que la exposición de la cara bulbar puede contribuir a condiciones oftálmicas específicas y requerir una atención y evaluación especializada (Karen M. et al., 2023).

2.6.3.3 Tratamiento.

El tratamiento que se realiza es quirúrgico, hay algunos procedimientos, pero el más usado en el caso de una eversión de cartílago es la exéresis o escisión de la porción invertida del cartílago en el ojo del perro (Karen M. et al., 2023, Nélide V, 2020).



Figura 7 Eversión del cartílago en canino
Fuente: Donohue (2022).

2.6.5 Neoplasias.

Existen neoplasias primarias o metastásicas que pueden aparecer en los tejidos del ojo y en sus estructuras, las neoplasias del

párpado son muy frecuentes en perros mayores, una de las más comunes que se presentan es el adenoma y el adenocarcinoma, histológicamente malignos, pero no producen metástasis (Alexandra L, 2023).

El abordaje terapéutico para estas neoplasias implica la intervención quirúrgica, cuyo alcance se ajusta a la dimensión de los tumores. En el caso de lesiones pequeñas, se opta por la extirpación selectiva de una porción de la membrana afectada, mientras que, en presencia de neoplasias de mayores dimensiones, se procede a la extracción completa del tumor. se emplean herramientas como tijeras especializadas, y se realiza la sutura de las superficies conjuntivales y bulbares mediante un patrón simple (Maggs D. et al 2007).

Tabla 2. Neoplasias del tercer párpado

Neoplasias	Características
Adenomas, papilomas y melanomas:	Representan más del 80 % de las neoplasias del párpado, la mayoría son benignos, pudiendo ser también malignos pero rara vez metastatizan.
Adenocarcinomas:	Estas neoplasias conforman el 12 % de tumores conjuntivales en caninos y el 85 % de tumores del tercer párpado en caninos, aparecen comúnmente en perros adultos entre 10 y 16 años, puede ser invasivo, aunque su metástasis no es frecuente. Es posible que se asemejen al prolapso de la glándula nictitante, comúnmente denominado "ojo de cereza", manifestándose como protuberancias localizadas, de consistencia firme, superficie

	lisa y tonalidad rosada en la región posterior de la membrana nictitante
Mastocitoma y melanocíticos:	Son pocos frecuentes, y muy poco conocidos, hay escasos reportes del comportamiento de estas neoplasias.
Carcinoma de células escamosas:	Es una neoplasia de células epiteliales maligna y considerada altamente invasiva, su proceso es lento hasta que produce metástasis, aparece en cualquier edad, pero los casos más comunes se han dado en perros entre 7 a 10 años.

Fuente: Vail (2022); Bravo (2013); Echeverry et al. (2007).
Elaborado: La Autora



Figura 8 Adenoma de la glándula de meibomio en canino.
Fuente: Romairone et al.(2021).

2.6.7 Síndrome de Horner.

2.6.7.1 Etiología.

El Síndrome de Horner es una enfermedad que se caracteriza por un prolapso que puede ser unilateral como bilateral de la membrana nictitante. Este síndrome puede manifestarse cuando se produce una lesión en cualquier parte de la vía oculosimpática (Schaer, 2006).

2.6.7.2 Signos y Síntomas.

El síndrome de Horner se caracteriza por la manifestación de cuatro señales clínicas distintivas: la reducción en el diámetro de la pupila, conocida como miosis, la caída del párpado superior, también conocida como ptosis, el hundimiento del globo ocular, llamado enoftalmos, y el desplazamiento hacia afuera del tercer párpado. Estas señales clínicas en su conjunto evidencian la ausencia de inervación simpática en el ojo (Morales et al., 2012).

2.6.7.3 Tratamiento.

El tratamiento y el pronóstico del síndrome de Horner varían dependiendo de la causa subyacente. No obstante, en la mayoría de los casos, el pronóstico es favorable. En situaciones en las que el prolapso del tercer párpado es evidente y afecta la visión del animal, se recurre a la aplicación tópica de fenilefrina al 1 % o al 10 % con el fin de aliviar los síntomas a corto plazo. Generalmente, se aprecia una mejoría en un lapso de 2 a 3 meses, aunque los signos pueden persistir durante aproximadamente 6 meses (Morales, 2012) (Danielle et al., 2019) (Bruce et., 2007).



Figura 9 Síndrome de Homer en canino
Fuente: Young (2022).

2.6 Métodos de evaluación y diagnóstico.

2.6.1 Examen clínico.

Al comenzar un examen clínico, es imprescindible obtener una historia médica detallada del paciente. Se procede a realizar una exhaustiva evaluación clínica general para determinar la condición física del individuo. El examen completo comprende la evaluación minuciosa de todos los componentes del ojo y su órbita. Se analiza la integridad, movilidad y posición del globo ocular, incluyendo el tercer párpado. Además, se examinan las estructuras intraoculares y extraoculares (Bravo, 2013).

2.6.2 Examen oftalmológico.

Un examen oftalmológico abarca diversas pruebas que se seleccionan según la naturaleza del problema. Inicia con una evaluación de la visión, empleando pruebas como el reflejo de luz para evaluar la constricción pupilar en ambos ojos. En caso necesario, se realizan pruebas de Schirmer y una evaluación detallada de las estructuras oculares externas, incluyendo los párpados y los tejidos circundantes. Se lleva a cabo una inspección minuciosa del fondo del ojo para detectar posibles anomalías, y, si es necesario, se administra tinción de fluoresceína para una evaluación más completa (Vetstreet, 2013).

2.6.3 Exámenes complementarios.

Los diferentes exámenes complementarios y sus características se describen en la tabla 3.

Tabla 3. Tipos de exámenes y sus características

Tipo de examen	Características
Test Schimmer:	Se trata de un examen cuantitativo sumamente sencillo que evalúa la fase

acuosa de la película lagrimal. Se emplea una tira de papel absorbente de 40 mm de largo y 5 mm de ancho, la cual cuenta con marcas de graduación cada 5 mm. La tira se humedece por capilaridad y se coloca cuidadosamente en el saco conjuntival inferior. Posteriormente, se procede a cerrar los párpados durante un minuto completo. Al finalizar dicho tiempo, se retira la tira y se procede a medir el área mojada por la secreción lagrimal. Para facilitar la lectura, algunas tiras están impregnadas con un colorante que se tiñe al entrar en contacto con la humedad. Los valores normales para los perros oscilan entre 15 y 18 mm por minuto.

Test Schirmer Simple:

Hace referencia al procedimiento mencionado previamente. Su objetivo es medir tanto la secreción basal como la secreción

refleja que se produce como resultado de la irritación causada por el papel.

Test Schirmer modificado o tests de Johns:

Es una variante en la cual se elimina la secreción refleja mediante la aplicación de gotas de anestésico. En este caso, solamente se mide la secreción basal. La tira de papel se coloca en el saco conjuntival durante 3 minutos. Sin embargo, un inconveniente es que los perros suelen no cooperar y no toleran la presencia de la tira.

Test del Rosa de Bengala:

El pigmento denominado Rosa de Bengala se adhiere de manera efectiva a las células dañadas y endurecidas tanto de la córnea como de la conjuntiva, así como también al moco. Su empleo resulta sumamente valioso en la detección temprana de la queratoconjuntivitis seca.

Test de fluorescencia o tinción con fluoresceína:

Este compuesto puede ser hallado en forma de colirio, tiras o ampollas de dosis única.

La fluoresceína es una sustancia que tiene la capacidad de disolverse en agua y adherirse a las partes del ojo que son atraídas por el agua, como la película lagrimal precorneal y el estroma corneal. Sin embargo, no se adhiere a las partes que repelen el agua, como el epitelio corneal y la membrana de Descemet. Un ejemplo clásico de su aplicación se encuentra en el diagnóstico de úlceras corneales, ya que se adhiere específicamente a la parte del estroma corneal que es atraída por el agua. Esta área solo se expone cuando hay una úlcera presente

Análisis de fluidos oculares:

El análisis de fluidos oculares es un procedimiento que implica

la obtención y examen del líquido presente en la cavidad ocular. Este proceso se lleva a cabo con el objetivo de obtener información detallada sobre la salud y condición de los ojos, incluyendo la capacidad de identificar células cancerosas en casos particulares.

Fuente: (Taidy , 2022 , Ponce, 2021 y James H Doroshov, 2020).
Elaborado: La Autora

3 MARCO METODOLÓGICO

3.6 Ubicación de la investigación

El estudio se llevó a cabo en la ciudad de Guayaquil, Ecuador, específicamente en las dos clínicas veterinarias donde se llevó a cabo la investigación. Guayaquil ostenta el título de la segunda ciudad más poblada de Ecuador y se localiza en la costa suroeste del país.

El estudio de la investigación se realizó en dos clínicas veterinarias Zoomedikal y Animalopolis en la ciudad de Guayaquil.

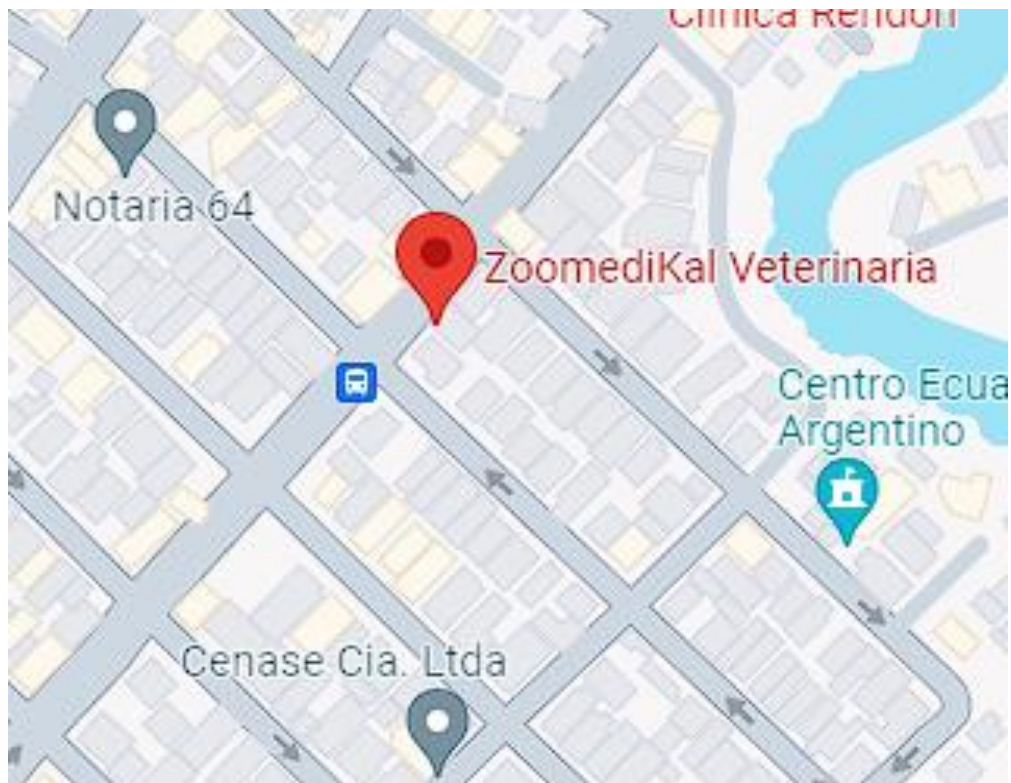


Figura 10 Ubicación geográfica de la clínica veterinaria Zoomedikal.
Fuente: Google maps (2023).



Figura 11 Ubicación geográfica de la clínica veterinaria Animalopolis.
Fuente: Google maps (2023).

3.6.5 Características climáticas.

Guayaquil, situada a 2.2 °S 79.89 °O y a una altitud de 14 metros sobre el nivel del mar, experimenta dos estaciones distintas a lo largo del año. La temporada lluviosa abarca desde octubre hasta mayo, mientras que la época seca se extiende de junio a septiembre. Las temperaturas oscilan entre 20 °C y 33 °C, descendiendo a 17 °C durante las noches en la estación seca. La velocidad del viento varía entre 1 y 12 km/h a lo largo de todo el año, mientras que el porcentaje de humedad se mantiene elevado, fluctuando entre el 69 % y el 83 %. Se observan picos de humedad durante los meses de lluvia (MeteoBlue, 2023).

3.7 Materiales

- Mandil
- Computadora
- Historial clínico

- Jeringuillas
- Alcohol
- Algodón
- Esparadrapo
- Guantes quirúrgicos
- Gasas
- Mesa de mayo
- Oftalmoscopio
- Termómetro
- Fluoresceína
- Test de Schirmer
- Bolígrafo
- Lámpara de Hendidura
- Test rosa bengala

3.8 Tipo de estudio

Este estudio es de tipo observacional, descriptivo y correlacional ya que tiene como objetivo presentar con detalle el proceso de diagnóstico de pacientes afectados por patologías del tercer párpado, asimismo se podrá relacionar todas estas patologías del tercer párpado con las variables raza, edad, tenencias y sexo, Se utilizará un enfoque estadístico simple y la herramienta de Excel para el registro y procesamiento eficiente de datos.

3.9 Población y muestra de estudio

La población que se estudió en este proyecto de investigación fueron los caninos que asistieron a la consulta veterinaria de las clínicas de acogida donde la muestra correspondió a los caninos atendidos entre octubre del 2023 a enero del 2024 por patologías en el tercer párpado.

3.10 Análisis estadístico

Para determinar los casos de patologías del tercer párpado en caninos que asistieron a consultas en las clínicas veterinarias ya antes mencionadas, se utilizó diagnóstico clínico, cuyos datos se recolectaron para posteriormente clasificarlos en una hoja de Excel de acuerdo con las variables establecidas. El comportamiento de las variables mediante tablas, para determinar la significancia de la correlación de la patología con las variables de riesgo se utilizó la prueba estadística chi cuadrado, analizado mediante SPSS. Para determinar la prevalencia de las patologías del estudio, se usó la siguiente fórmula: $P = \text{casos positivos} / \text{total de casos estudiados} \times 100$ (Rothman, 2002).

3.11 Método de abordaje

3.11.5 Recopilación de la muestra.

Para este proyecto se realizó una serie de preguntas a los respectivos dueños de los perros atendidos en las clínicas veterinarias. La ficha técnica incluyó los datos básicos del paciente, que son: edad, tenencia, sexo y raza.

3.11.6 Abordaje clínico oftalmológico.

Examen físico general: El examen físico fue importante para descartar cualquier otro problema, al realizar el examen fue necesario desinfectarse las manos y usar guantes quirúrgicos, posteriormente se revisaron los ojos. En este examen físico se tomaron la temperatura de los pacientes y se realizó una revisión básica en general de la mascota.

Examen clínico ocular: Después del examen físico fue necesario en algunos casos realizar pruebas de diagnósticos especiales, por ejemplo, evaluar la secreción de lágrimas por medio de la prueba Schirmer, esta evaluación hizo antes de inocular cualquier droga como proparacaína tópico. También dependiendo de la patología se utilizaron otros exámenes como la fluorescencia y rosa bengala.

La evaluación completa de la salud ocular de un paciente canino se llevó a cabo mediante un examen clínico ocular general. Durante este procedimiento, se realizó un minucioso análisis de los párpados, la conjuntiva, la córnea y el iris con el objetivo de identificar posibles anormalidades, tales como infecciones o inflamaciones. Además, se empleó un oftalmoscopio para explorar detenidamente el fondo del ojo, abarcando la retina, el nervio óptico y los vasos sanguíneos. Este enfoque permitió no solo diagnosticar tempranamente problemas oculares, sino también prevenir posibles complicaciones asociadas.

Examen oftalmológico: En este estudio se realizaron exámenes oftalmológicos en perros con una evaluación completa de la salud visual y ocular, llevado a cabo por veterinarios especializados en oftalmología. Este proceso abarcó distintos componentes esenciales para la detección temprana y el tratamiento de problemas oculares. Inicialmente, se examinó externamente el ojo, evaluando párpados, pestañas y glándulas lagrimales, posteriormente se evaluó la córnea en busca de irregularidades, así como el segmento anterior y posterior del ojo, utilizando técnicas como la oftalmoscopia.

También dependiendo del paciente y la patología se realizaron pruebas de función lagrimal, tinciones con colorantes, y otras evaluaciones específicas según las necesidades clínicas, permitiendo un diagnóstico preciso y la implementación de un plan de tratamiento adecuado.

3.12 Variables para estudiar / de investigación

3.12.5 Variable dependiente

Presencia de patologías del tercer párpado:

Eversión del cartílago

- Sí
- No
-

Prolapso de la glándula lacrimal

- Sí
- No

Conjuntivitis folicular

- Sí
- No

Neoplasia

- Sí
- No

Síndrome de Horner

- Sí
- No

3.12.6 Variables independientes.

Edad

- Categoría A): menores de un año
- Categoría B): de un año hasta 6 años
- Categoría C): de 6 años en adelante

Sexo

- Macho
- Hembra

Razas

- Pequeñas
- Medianas
- Grandes

Tenencia

- Dentro de casa
- Fuera de casa
- Esporádicamente pasa afuera de casa

4. RESULTADOS

4.1 Prevalencia de las patologías del tercer párpado en *Canis lupus familiaris* atendidos en dos clínicas veterinarias en la ciudad de Guayaquil

Según los resultados presentados en la **Figura 12**, dentro de los 270 pacientes que acudieron a consulta en las dos clínicas veterinarias en la ciudad de Guayaquil, se confirmó un 37 % de casos, este porcentaje revela una prevalencia que se sitúa en un nivel intermedio en comparación con la población total examinada. Este porcentaje fue calculado mediante la fórmula de prevalencia.

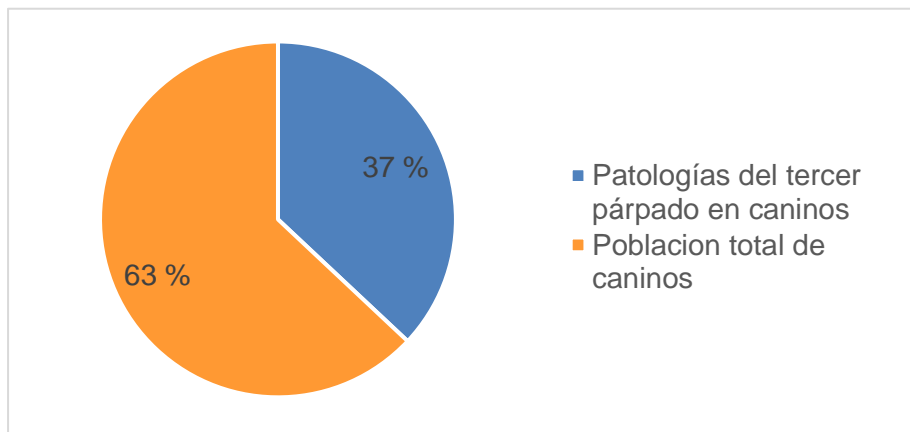


Figura 12 Prevalencia de patologías en *Canis lupus familiaris*.
Elaborado por: La Autora

4.2. Caracterización de la población de estudio de acuerdo con las variables de sexo, edad, tenencia y raza

4.2.1 Frecuencia de las patologías del tercer párpado en relación con las variables en general de la población en estudio.

En la **Figura 13** se puede observar que, de los 100 caninos que presentaron patologías del tercer párpado (37 %), que ingresaron en el estudio, el 47 % eran hembras, mientras que, el otro 53 % correspondía a machos. Estos porcentajes muestran que hubo una leve mayoría de machos en la muestra estudiada.

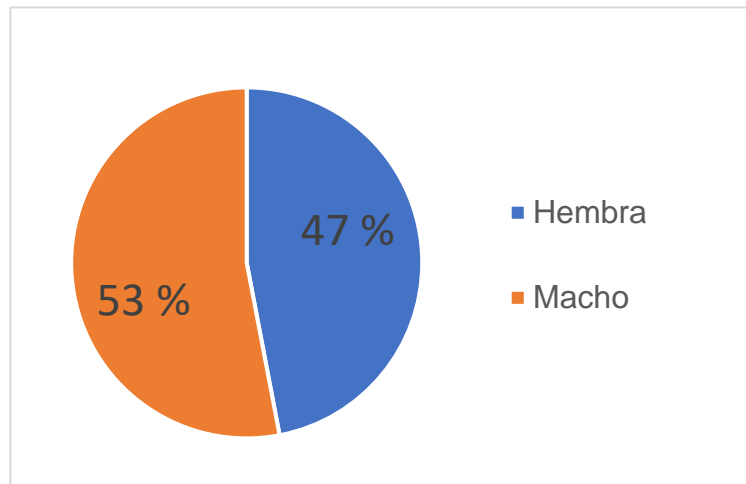


Figura 13 Frecuencia relativa del sexo en la población estudiada.

Elaborado por: La Autora

En cuanto a la raza, la población de estudio estuvo compuesta por un 95 % de caninos puros y un 5 % de mestizos, tal y como se presentan en la **Figura 14** Esto indica que la mayoría de la población de estudio estaba compuesta por caninos puros mientras que el grupo de los perros mestizos constituye una menor representación.

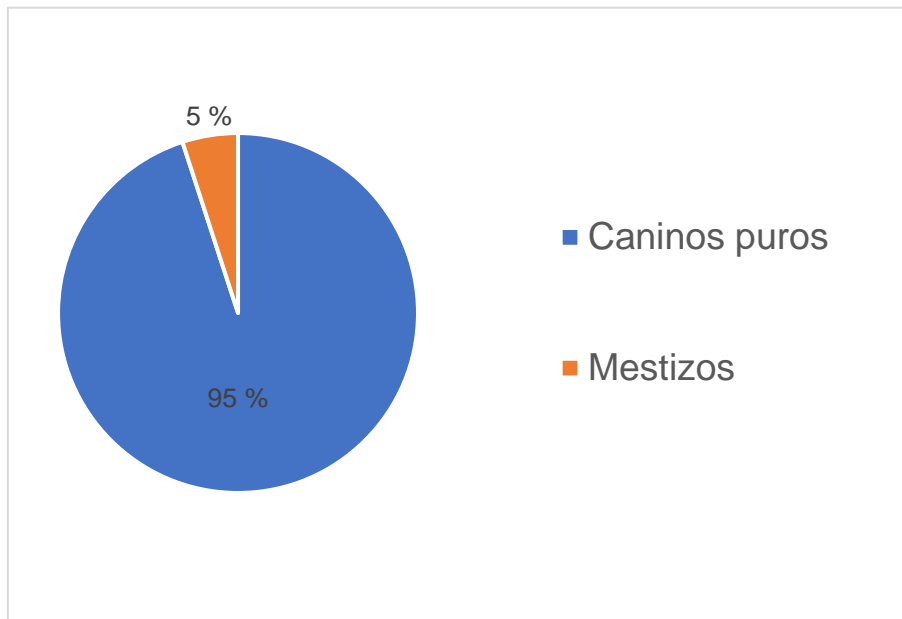


Figura 14 Frecuencia relativa de la raza en la población estudiada.

Elaborado por: La Autora

En la **Figura 16** se observa que la mayoría de los pacientes del presente trabajo de investigación pertenecen al grupo Dentro de casa con un 62 %, seguido del grupo Fuera de casa con un 32 % y el grupo Esporádicamente pasa afuera de casa con un 6 % respectivamente.

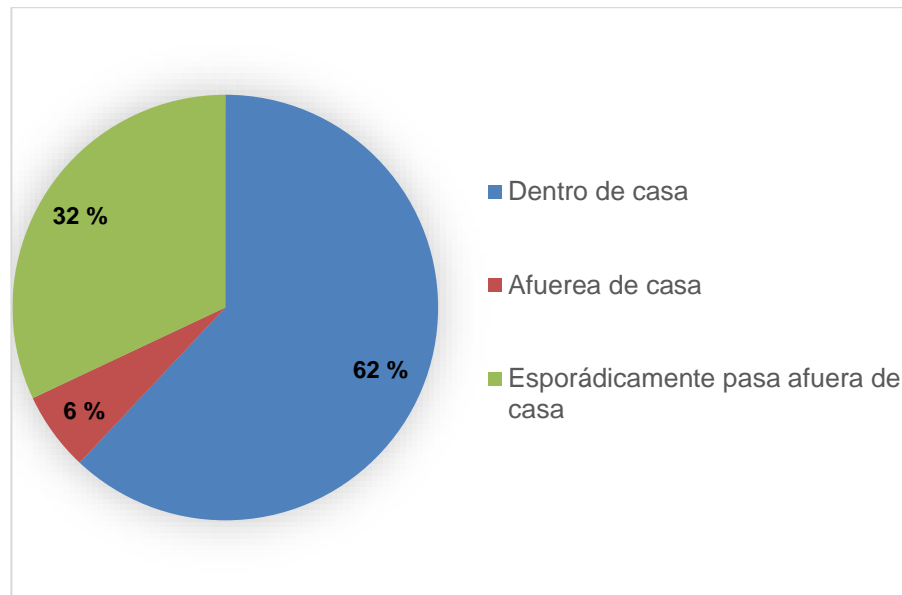


Figura 15 Frecuencia relativa de la tenencia en la población estudiada.

Elaborado por: **La Autora**

Se puede observar en la **Figura 16** que de los 100 casos hay 21 razas diferentes (incluyendo mestizos) que presentaron alguna patología del tercer párpado (razas pequeñas presentaron un número considerable de casos en comparación a las otras razas) tales como Shitzu 16 % representando el porcentaje más alto, Bull dog inglés 10 %, Husky 9 %, Bull dog francés 7 %, Pug 5 %, Mestizo 5 %, Cocker spaniel 5 %, Bóxer 4 %, Boston Terrier 4 %, French Poodle 4 %, York shire terrier 4 %, Chihuahua 3 %, Golden Retriever 3 %, Teckel 3 %, Pekinés 5 %, San Bernardo 2 %, Maltés 1 %, Mastín, Napolitano 1 %, Pitbull 1 % y los tres últimos representando los porcentajes más bajos.

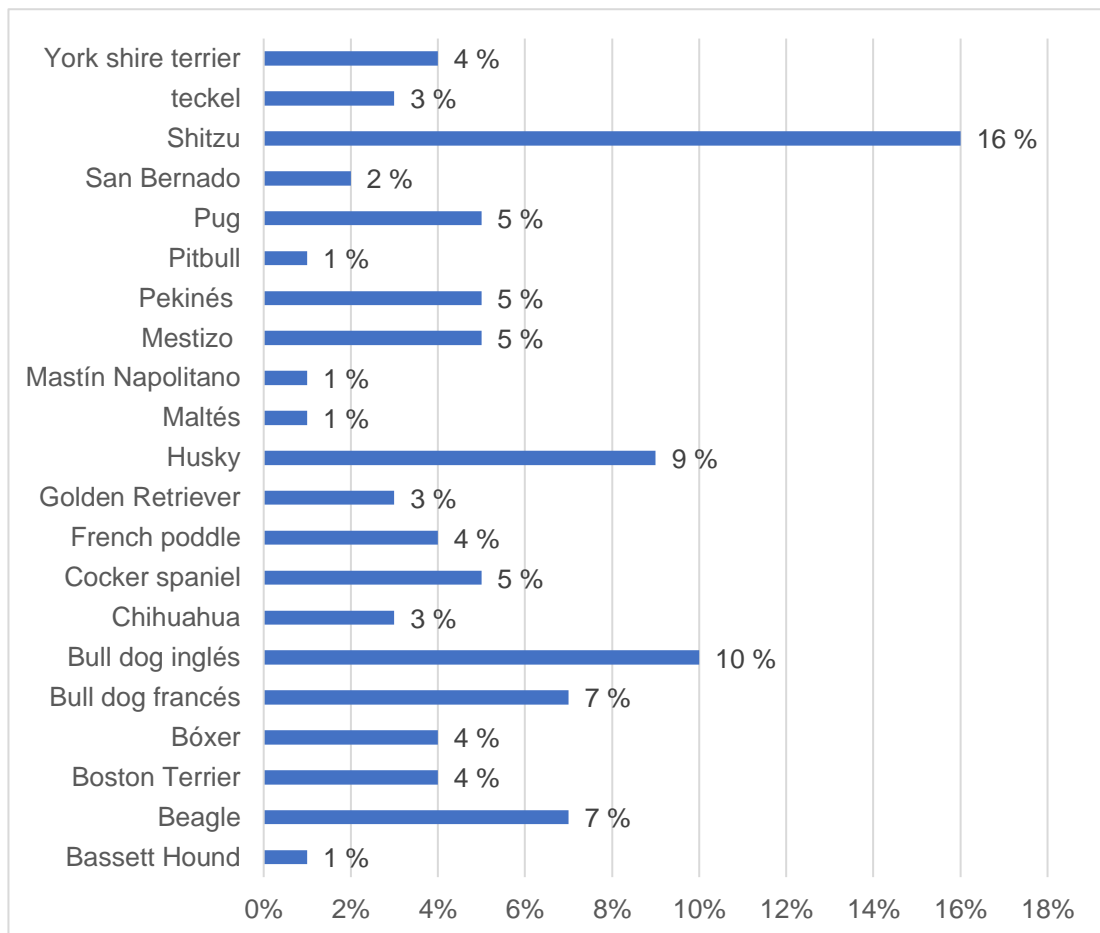


Figura 16 Frecuencia relativa de razas con patologías del tercer párpado.
Elaborado por: La Autora

En la **Figura 17**, se evidencia que el prolapso del tercer párpado (PRO) fue la patología más frecuente entre los pacientes, alcanzando un porcentaje del 44 %. La conjuntivitis folicular (CON) se posicionó como la segunda patología más frecuente, representando el 23 %. La eversión del cartílago (EVE) afectó al 16 % de los pacientes caninos, seguida por el síndrome de Horner (SIN), que registró un 11 %. Las neoplasias (NEO) presentaron un porcentaje del 6 %, siendo esta última la patología menos común en la muestra estudiada.

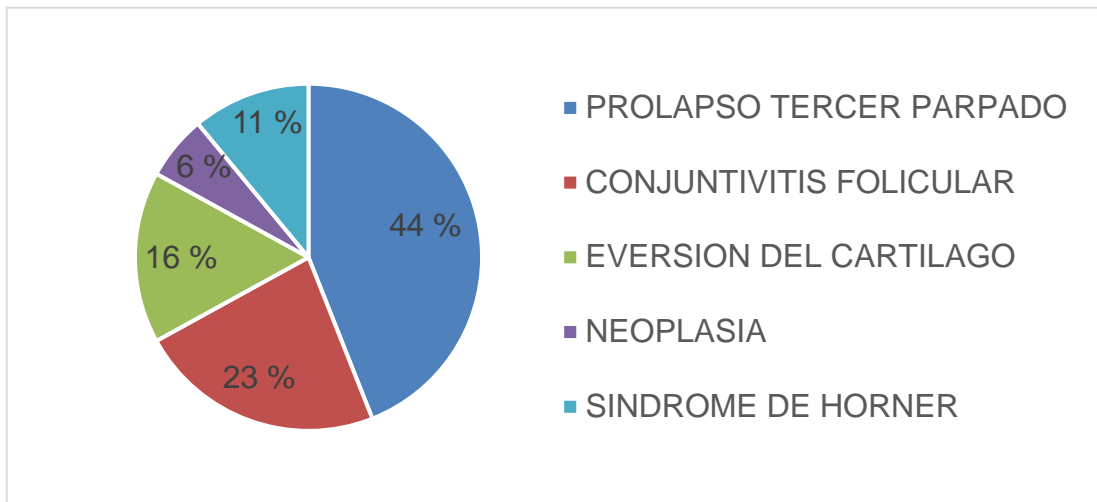


Figura 17 Frecuencia relativa de patologías que presentó la población estudio.
Elaborado por: La Autora

4.2.2 Frecuencia de la patología del prolapso del tercer párpado en relación con las variables sexo, edad, tenencia y raza en la población en estudio

En la **Figura 18**, se detallan las razas que presentaron prolapso del tercer párpado, destacando el Shitzu con la mayor frecuencia, alcanzando un 9 %. Le siguen en orden de descendente el Bulldog inglés con un 6 %, el Husky con un 5 %, el Bulldog francés con un 4 %, y el Boston terrier y el Beagle, ambos con un 3 %. Asimismo, el Pug, Pekinés, Cocker y Bóxer presentaron un 2 % cada uno. Por otro lado, el Yorkshire terrier, Teckel, Pitbull, mestizo, Golden Retriever y French poodle registraron la menor proporción, con un 1 % cada uno.

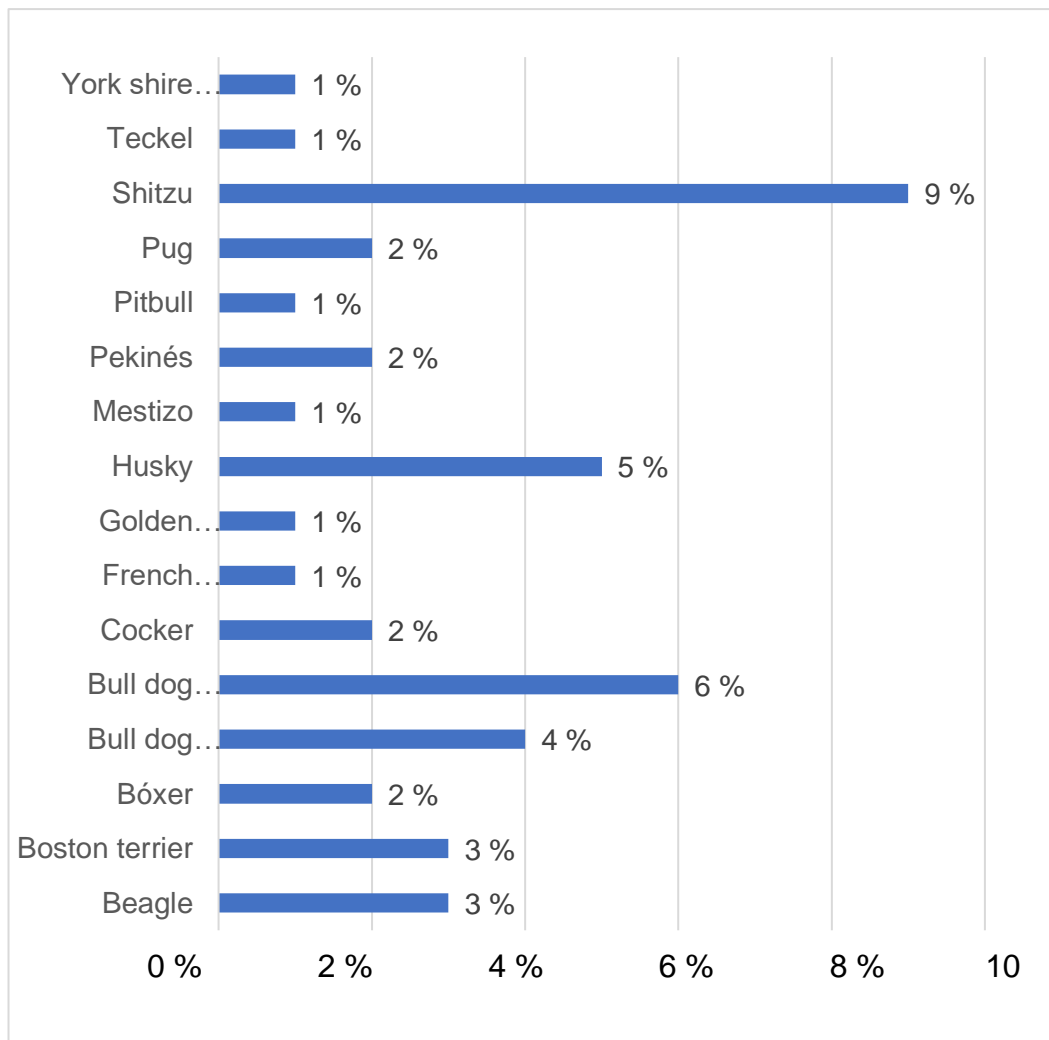


Figura 18 Frecuencia del prolapso del tercer párpado de los caninos según la raza.

Elaborado por: La Autora

En la **Figura 19**, se observa que la frecuencia de prolapso del tercer párpado por sexo en la población estudiada el 55 % de los casos corresponden a machos, mientras que las hembras representan el 45 %, registrando así una diferencia porcentual entre ambos géneros.

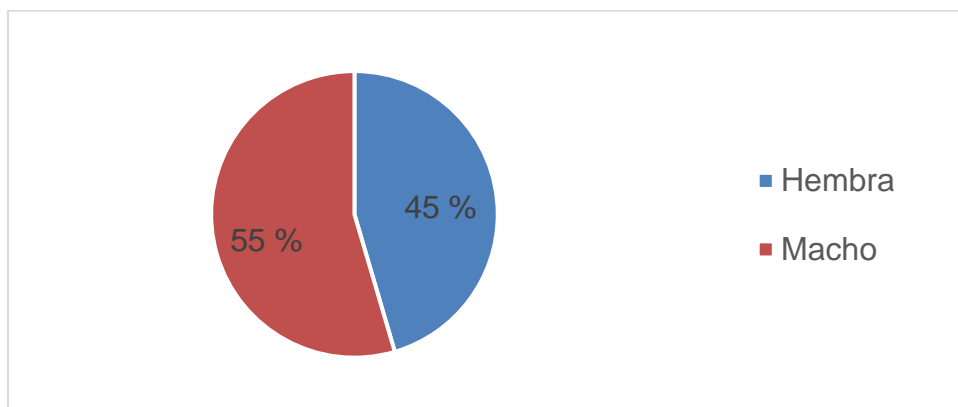


Figura 19 Frecuencia relativa de sexo en el prolapso del tercer párpado.

Elaborado por: La Autora

En la **Figura 20**, se destaca una frecuencia significativa en los casos de prolapso del tercer párpado en caninos que residen mayoritariamente dentro de casa, alcanzando el 61 %. Por otro lado, aquellos que pasan más tiempo fuera de casa representan el 39 %, mientras que la categoría de Esporádicamente pasa fuera muestra un porcentaje del 0 %.

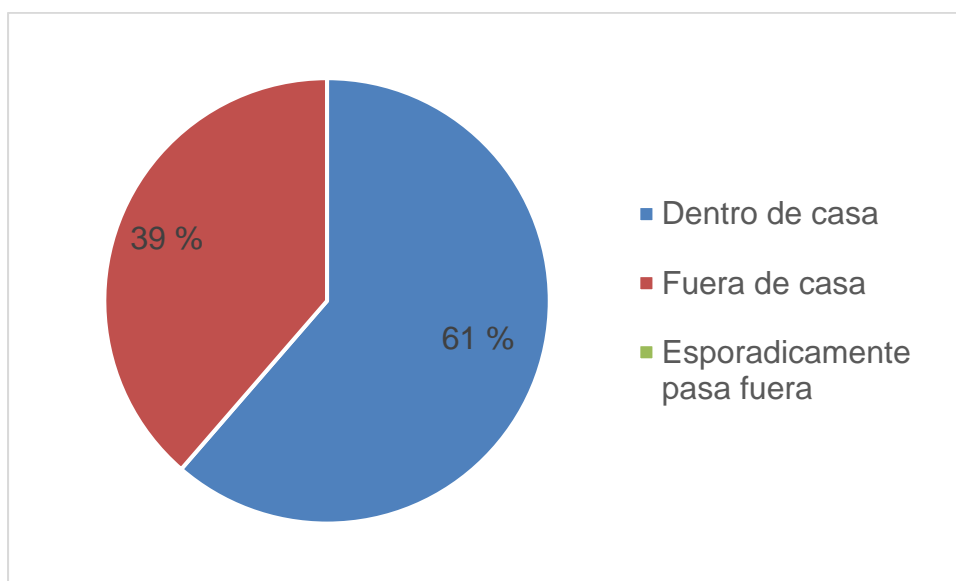


Figura 20 Frecuencia relativa de tenencia en el prolapso del tercer párpado.

Elaborado por: La Autora

Respecto a la edad, la **Figura 21** demuestra que los caninos mayores de 6 años representan un 36 %, superando ligeramente a los grupos de Menores a un año y de 1 a 6 años con 32 % y 32 % respectivamente.

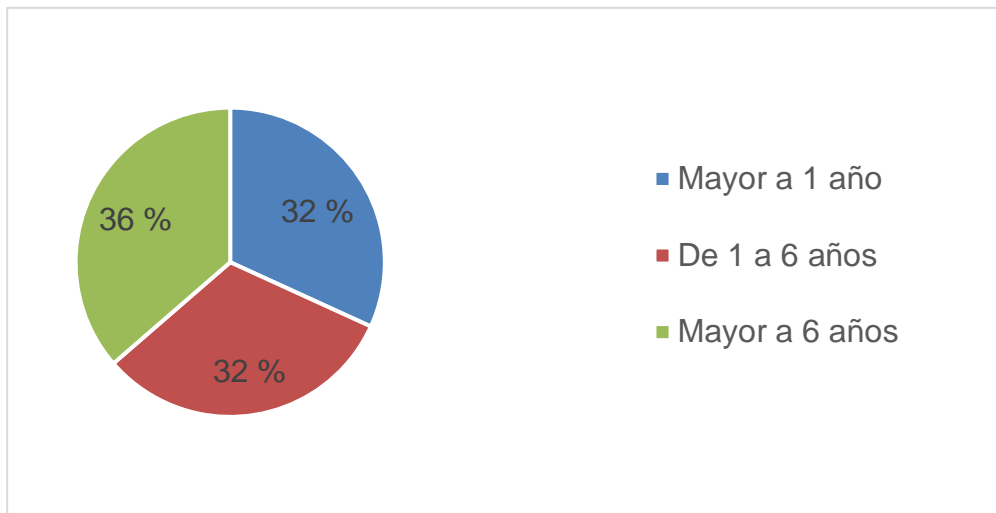


Figura 21 Frecuencia relativa de edad en el prolapso del tercer párpado.
Elaborado por: La Autora

4.2.3 Frecuencia de la patología conjuntivitis folicular en relación con las variables sexo, edad, tenencia y raza de la población de estudio.

En la **Figura 22**, se resaltan las razas con una mayor frecuencia de Conjuntivitis folicular. Destacando en primer lugar, el Bull dog inglés lidera con un 18 %, seguido de cerca por el Yorkshire terrier y el Pug, ambos con un 13 %. Entre las razas con un 9 % de incidencia se encuentran el Shitzu, French poodle, Cocker y Chihuahua. Por último, el Mastín napolitano, Maltés, Husky y Beagle cierran la lista con una frecuencia del 4 %. Estos datos proporcionan una visión detallada de la prevalencia de Conjuntivitis folicular en diversas razas, siendo útil para comprender las variaciones en la incidencia según la raza del canino.

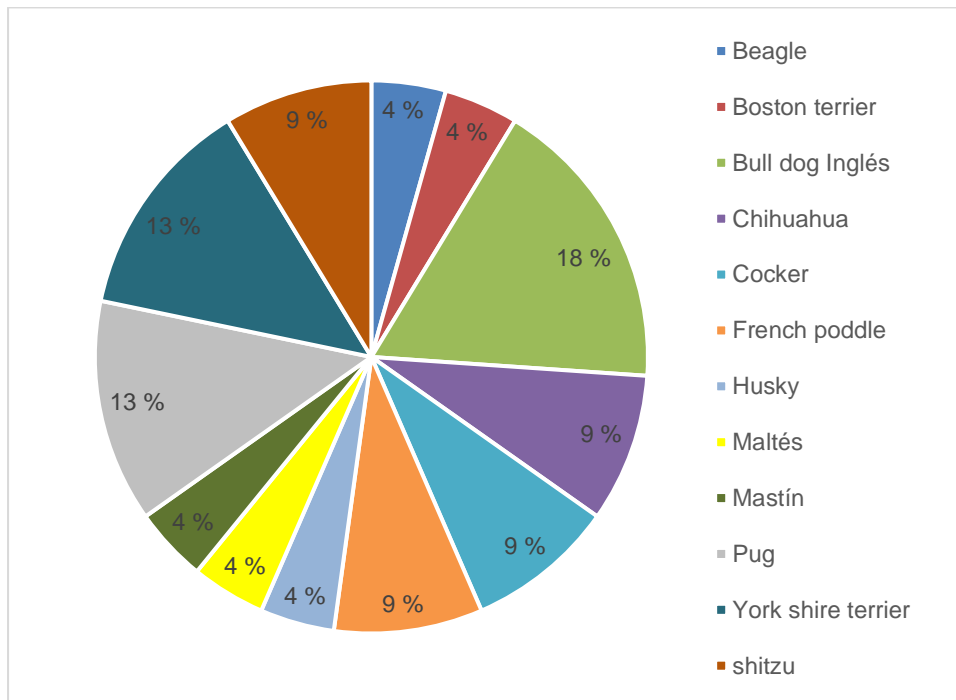


Figura 22 Frecuencia Relativa de razas con conjuntivitis folicular.
Elaborado por: La Autora

En la **Figura 23**, se examina la frecuencia de Conjuntivitis folicular en pacientes caninos en relación con su sexo. Se observó que el 52 % corresponde a machos y 48 % hembras.

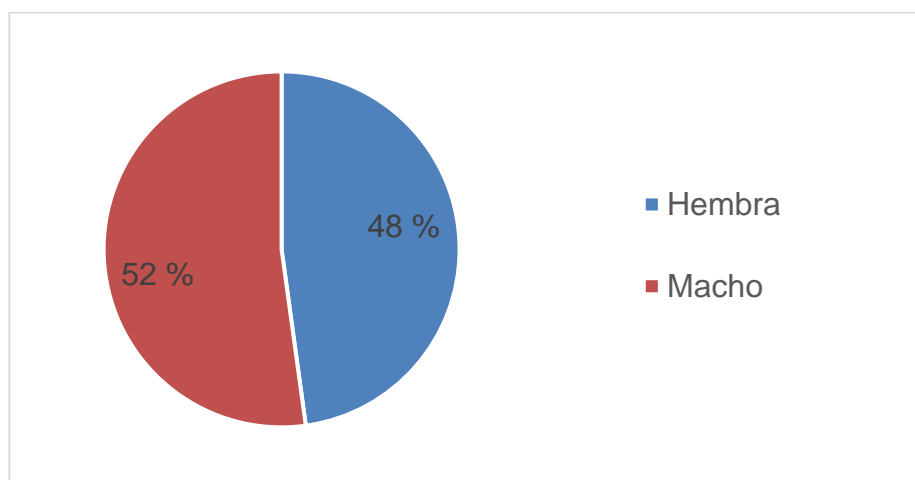


Figura 23 Frecuencia relativa de sexo en caninos con conjuntivitis folicular.
Elaborado por: La Autora

En la **Figura 24**, se evidencia que en relación con la tenencia de las mascotas que presentaron conjuntivitis folicular, se destaca un

notable 77 % en Dentro de casa, seguido por un 18 % en esporádicamente pasa afuera de casa y finalmente, un 5 % en Fuera de casa.

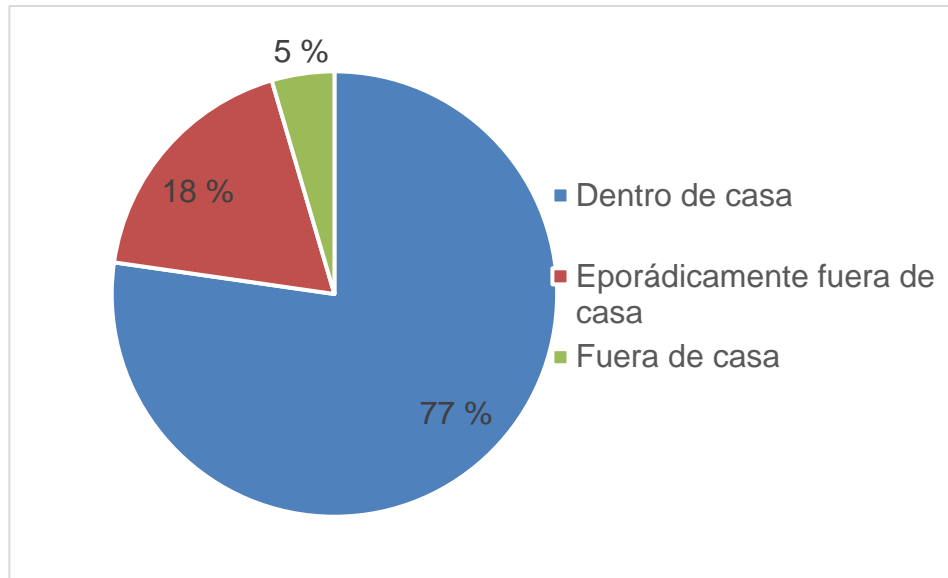


Figura 24 Frecuencia de tenencia en caninos con conjuntivitis folicular.
Elaborado por: La Autora

En la **Figura 25** revela que el grupo de 1 a 6 años lidera con un 44 %, representando el porcentaje más elevado. Le sigue el grupo de Menores de un año con un 30 %, y finalmente, el grupo de Mayores de 6 años con un 26 %.

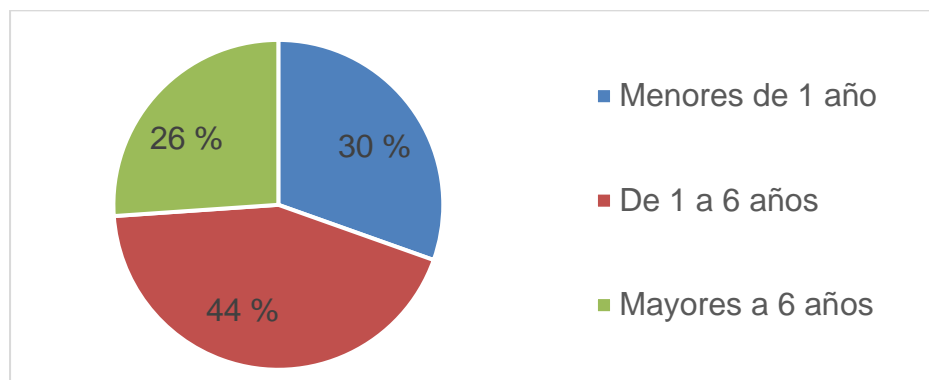


Figura 25 Frecuencia relativa de edad en caninos con conjuntivitis folicular.
Elaborado por: La Autora

4.2.4 Frecuencia de la patología eversión del cartílago en relación con las variables sexo, edad, tenencia y raza de la población de estudio.

En la **Figura 26**, se visualizan las razas que presentaron Eversión del Cartílago (EVE). La raza Shitzu registró el porcentaje más elevado con un 32 %, seguida por Teckel y Pekinés con un 13 %. En último lugar, se encuentran Golden Retriever, Bulldog Francés, Mestizo, Cocker Spaniel, Boxer, Chihuahua y Beagle, cada uno con un 6 %.

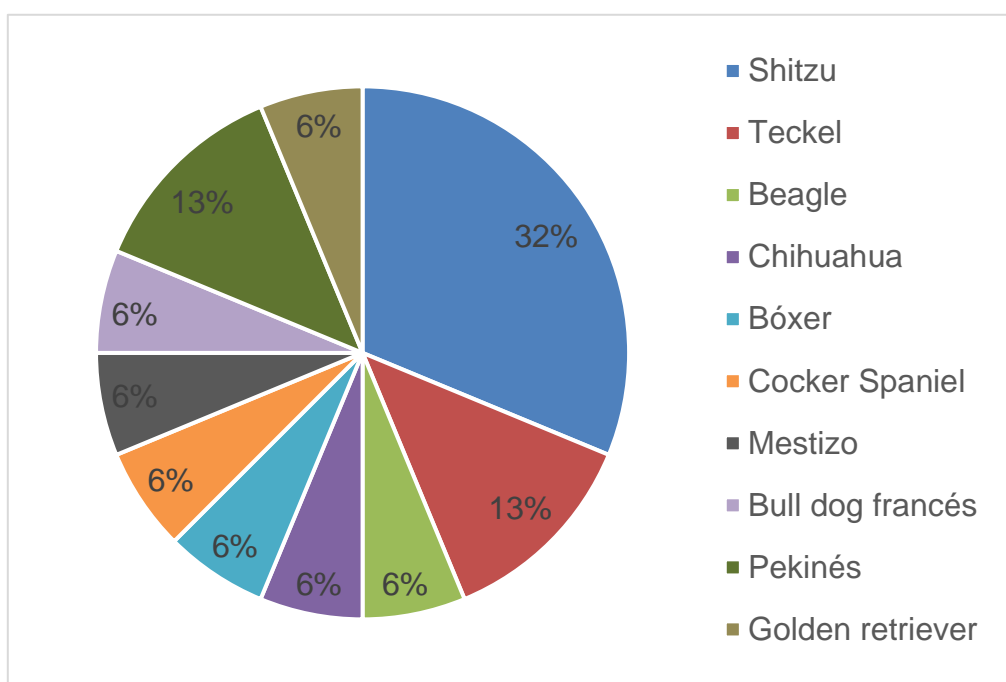


Figura 26 Frecuencia relativa de razas en caninos con eversión del cartílago.

Elaborado por: La Autora

En la **Figura 27**, se evidencia una ligera frecuencia en el sexo entre los caninos que presentaron eversión del cartílago (EVE), con un 56 % para machos y un 44 % para hembras.

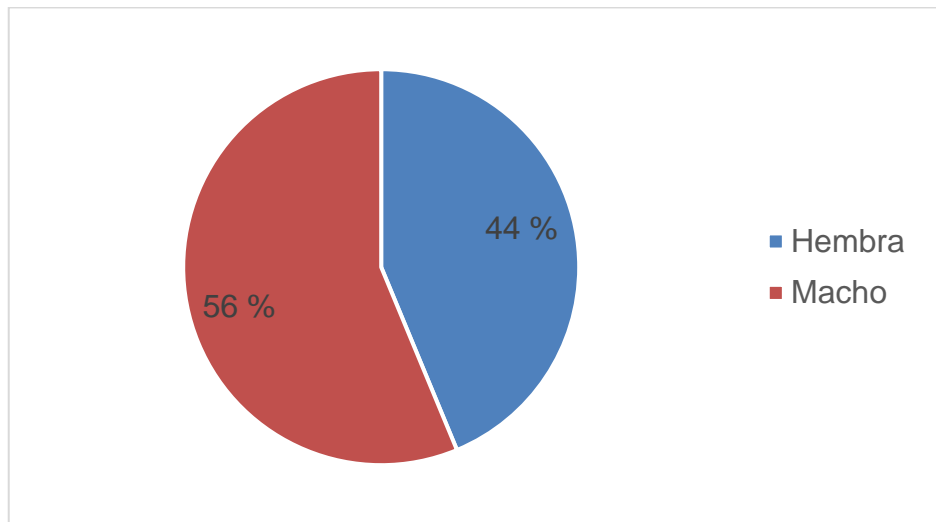


Figura 27 Frecuencia relativa de sexo en caninos con eversión del cartílago.

Elaborado por: La Autora

En la **Figura 28**, se observa la relación entre la variable tenencia de las mascotas que manifestaron eversión del cartílago (EVE). La categoría "Dentro de casa" exhibió notablemente el mayor porcentaje, alcanzando un 63 %. A continuación, las categorías "Esporádicamente fuera de casa" y "Fuera de casa" registraron un 31 % y un 6 %, respectivamente, siendo este último el porcentaje más bajo.

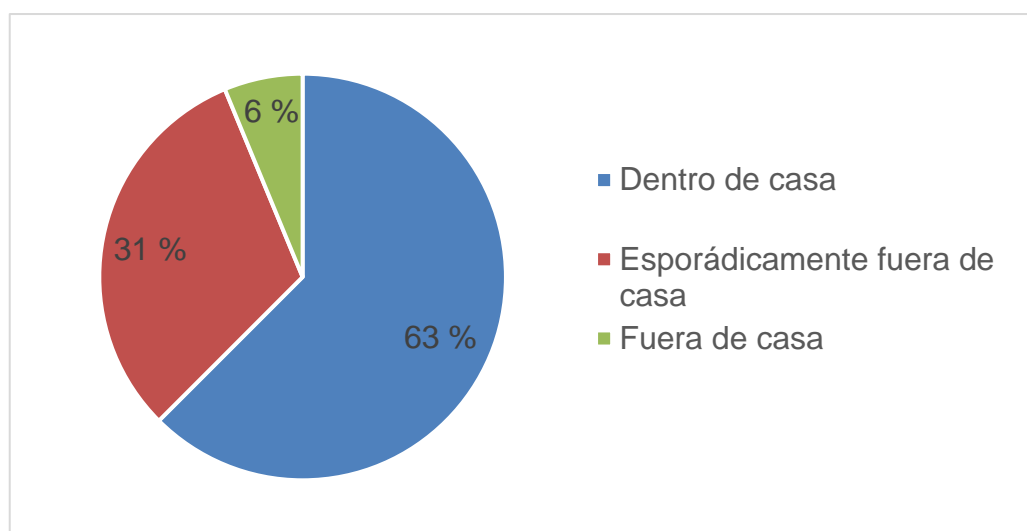


Figura 28 Frecuencia relativa de tenencia en caninos con eversión del cartílago.

Elaborado por: La Autora

En relación con la frecuencia por edad en los caninos que manifestaron eversión del cartílago (EVE), en la **Figura 29** se observa que el grupo de Mayores de 6 años fue el más pronunciado, alcanzando un 44 %. Le sigue el grupo de Menores de un año con un 31 %, y finalmente, el grupo de 1 año a 6 años con un 25 %.

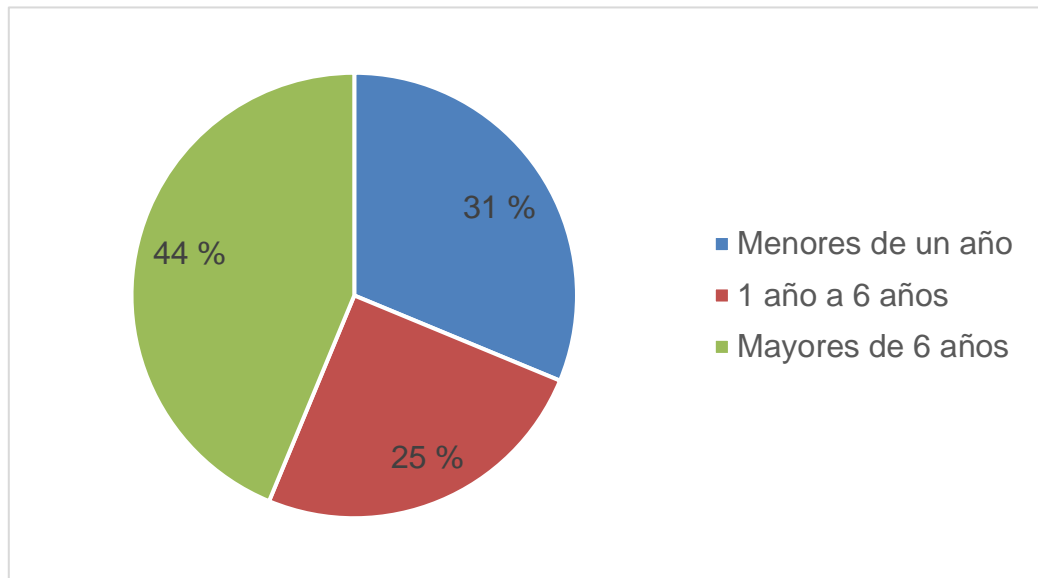


Figura 29 Frecuencia relativa de edad en caninos con eversión del cartílago.
Elaborado por: La Autora

4.2.5 Frecuencia de la patología síndrome de Horner en relación con las variables sexo, edad, tenencia y raza de la población de estudio.

En la **Figura 30**, se pueden identificar las razas que manifestaron el Síndrome de Horner (SIN). Las razas San Bernardo, Husky y Mestizo registraron el porcentaje más elevado, con un 18 a 19 %, mientras que las razas Pekinés, Golden Retriever, Bóxer, Beagle y Bassett Hound presentaron un 9 % cada una.

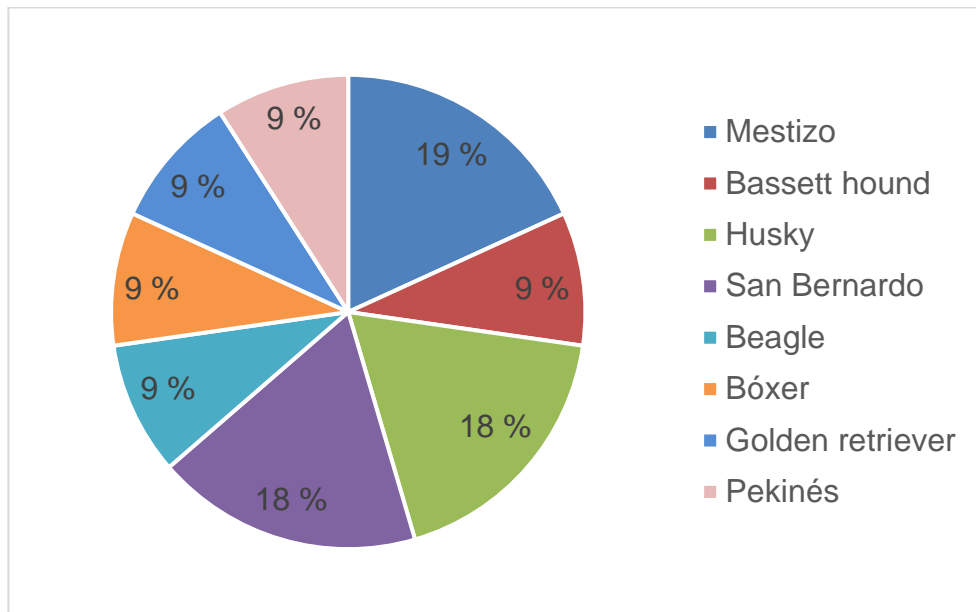


Figura 30 Frecuencia relativa de raza en caninos con síndrome de Horner.
Elaborado por: La Autora

En la **Figura 31**, en cuanto a la frecuencia por la variable de sexo en los caninos que manifestaron el síndrome de Horner (SIN), se observa que las hembras tuvieron un mayor porcentaje, alcanzando el 55 %, mientras que los machos representaron el 45 %.

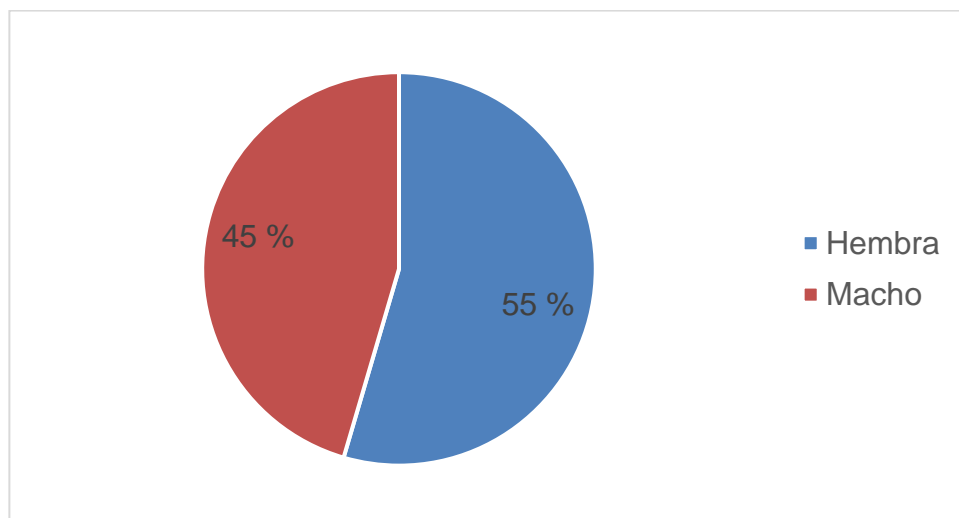


Figura 31 Frecuencia relativa de sexo en caninos con síndrome de Horner.
Elaborado por: La Autora

En la **Figura 32**, se destaca que, en la edad en caninos que presentaron síndrome de Horner, el grupo "Mayores de 6 años" predominó completamente con un 100 %, mientras que los grupos "Menores de un año" y "1 año a 6 años" registraron un 0 % cada uno.

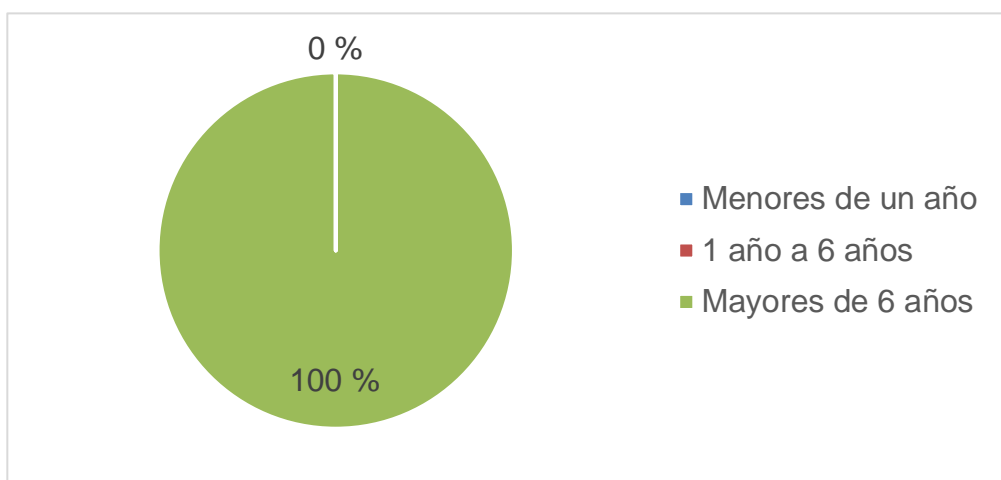


Figura 32 Frecuencia relativa de edad en caninos con síndrome de Horner.
Elaborado por: La Autora

En la **Figura 33** en la frecuencia de tenencia en caninos que presentaron síndrome de Horner, se puede observar que el grupo Dentro de casa tiene un porcentaje de 37 % ligeramente más alto que Esporádicamente pasa afuera de casa con 36 % y por último Fuera de casa con 27 %.

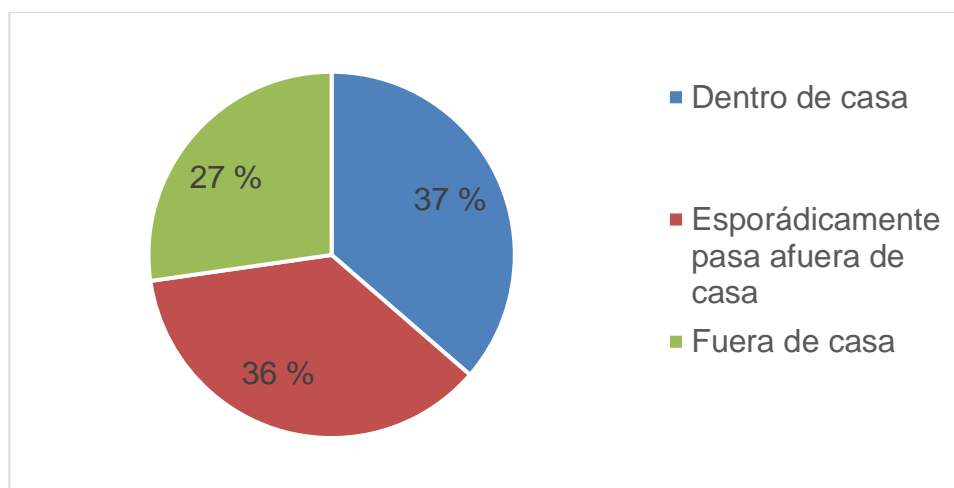


Figura 33 Frecuencia relativa de tenencia en caninos con síndrome de Horner.

Elaborado por: La Autora

4.2.6 Frecuencia de la patología neoplasias en relación con las variables sexo, edad, tenencia y raza de la población de estudio.

La frecuencia de la variable de raza de los caninos que manifestaron Neoplasias (NEO), se aprecia en la **Figura 34** que las razas Bull dog francés, French 'Poddle, Bull dog inglés, Husky, Beagle y mestizo presentaron un 16.67 % cada una.

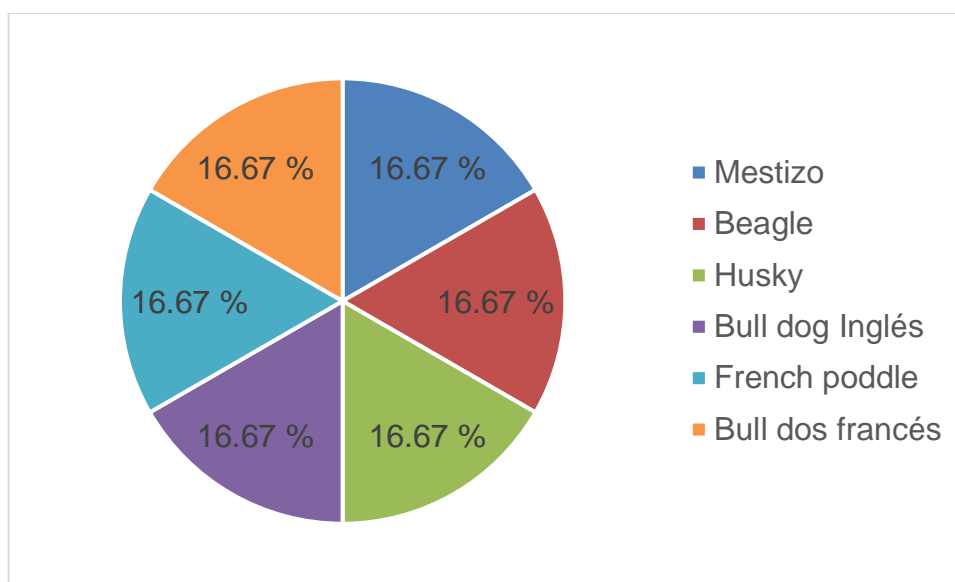


Figura 34 Frecuencia relativa de raza en caninos con neoplasias.
Elaborado por: La Autora

La distribución de neoplasias (NEO) en caninos, según su sexo, se representa en la **Figura 35**, destacando una prevalencia equitativa. Tanto para hembras como para machos, se observa un 50 %, lo que indica porcentajes iguales de presentación de neoplasias en ambos géneros dentro de la población canina estudiada. Esta uniformidad en la prevalencia de neoplasias entre hembras y machos podría sugerir la ausencia de un sesgo significativo por género en la manifestación de estas afecciones en la muestra analizada.

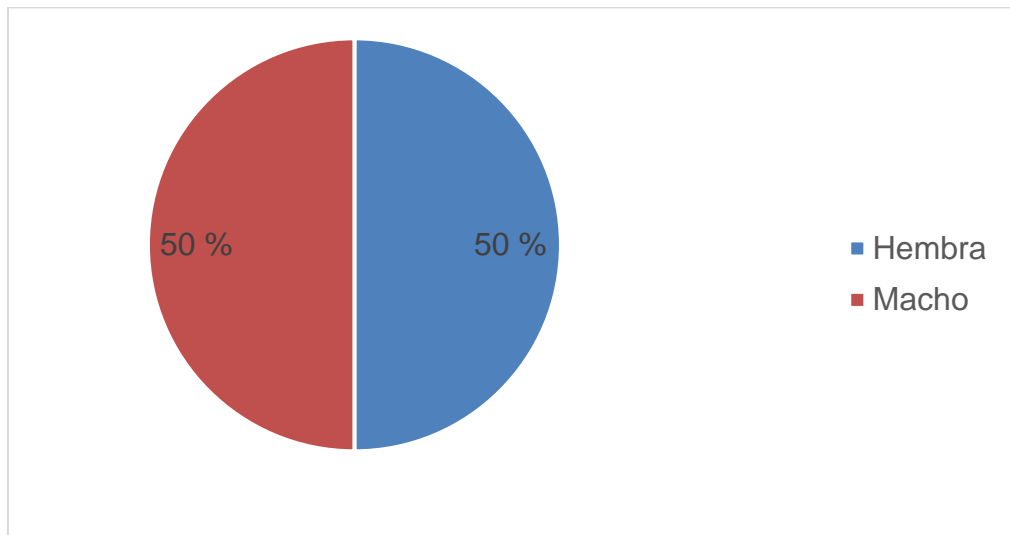


Figura 35 Frecuencia relativa de sexo de en caninos con neoplasias.
Elaborado por: La Autora

En la **Figura 36**, en relación con la variable tenencia de los caninos que manifestaron neoplasias (NEO), se destaca un porcentaje significativamente elevado en el grupo "Dentro de casa" con un 83 %, seguido por "Esporádicamente afuera de casa" con un 17 %, y finalmente, "Fuera de casa" con un 0 %.

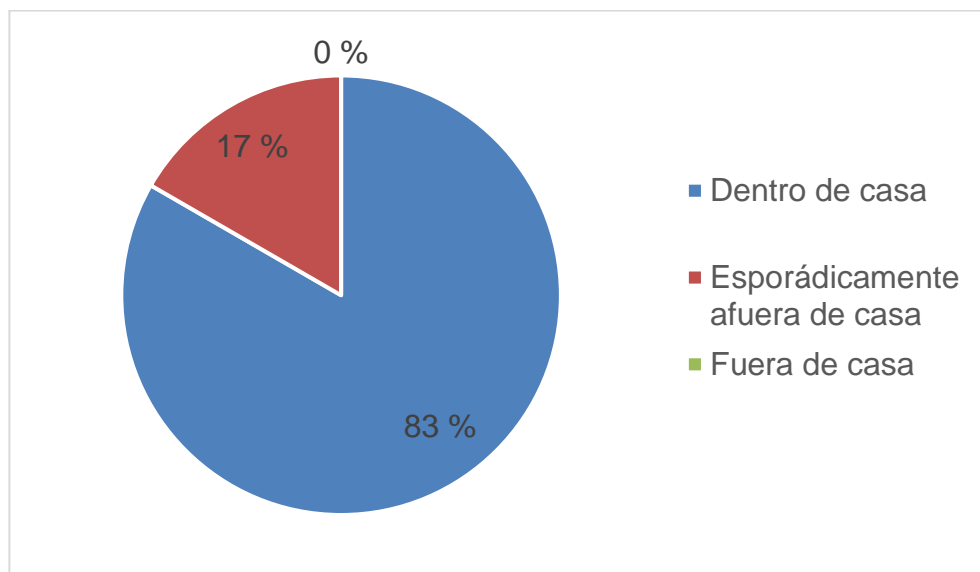


Figura 36 Frecuencia relativa de tenencia en caninos con neoplasias.
Elaborado por: La Autora

En la **Figura 37**, se observa la frecuencia por la variable de edad en los caninos que manifestaron neoplasias (NEO). El grupo “Mayores de 6 años\” presenta el porcentaje más alto, con un 50 %, seguido por “1 año a 6 años” con un 33 %, y finalmente, “Menores de 1 año” con un 17 %.

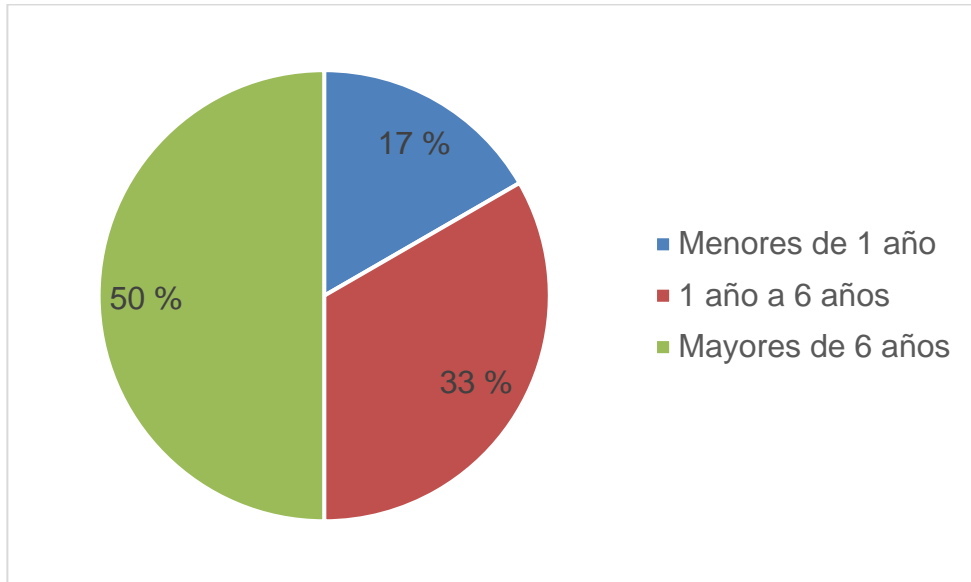


Figura 37 Frecuencia relativa de edad en caninos con neoplasias.
Elaborada por: La Autora

4.3 Exámenes clínicos y oftalmológicos realizados en la población estudiada.

En la **Figura 38**, se observa que el examen clínico abarcó el 100 % de la población en estudio, mientras que el examen oftalmológico se llevó a cabo solo en el 37 %. Esta diferencia se atribuye al hecho de que dicho porcentaje evidenció la presencia de patologías en el tercer párpado durante el estudio.

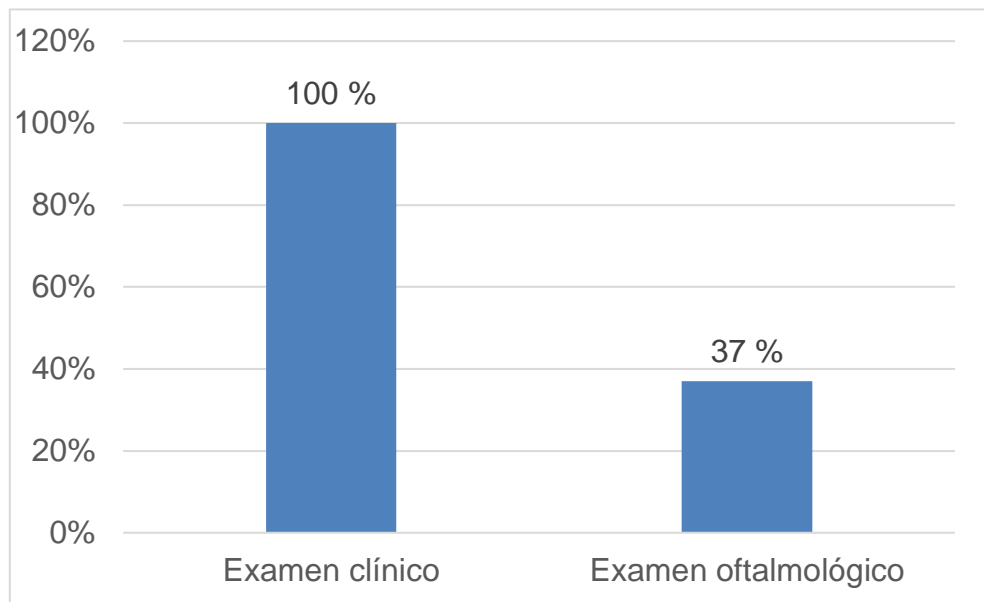


Figura 38 Examen clínico y Examen oftalmológico realizados en población de estudio.

Elaborado por: La Autora

En la **Figura 39**, se evidencia el uso de exámenes complementarios para descartar o diagnosticar otras patologías relacionadas con las patologías ya existentes del tercer párpado. Específicamente, se llevaron a cabo en el 37 % de los caninos afectados por estas patologías es decir en los 100 casos. Entre los procedimientos realizados, la tinción de fluoresceína fue aplicada en el 67 % de los casos, la prueba de Schirmer se llevó a cabo en el 12 %, la prueba con rosa de bengala se efectuó en el 8 %, y, finalmente, el análisis de fluidos oculares se realizó en el 6 % de los pacientes.

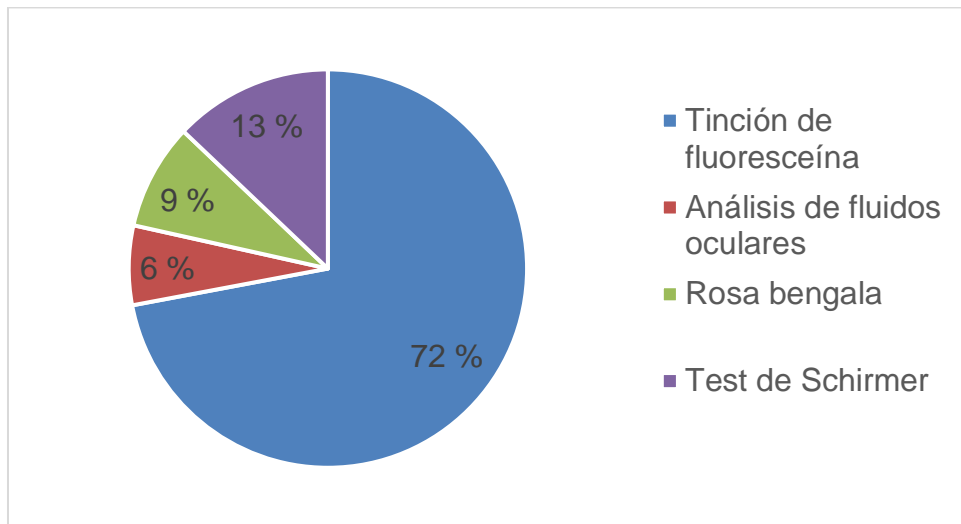


Figura 39 Exámenes complementarios de los caninos en el área de oftalmología.

Elaborado por: La Autora

4.4 Relación de las patologías del tercer párpado con las variables sexo, raza, edad y tenencia

4.4.1 Relación de las patologías del tercer párpado con la variable sexo.

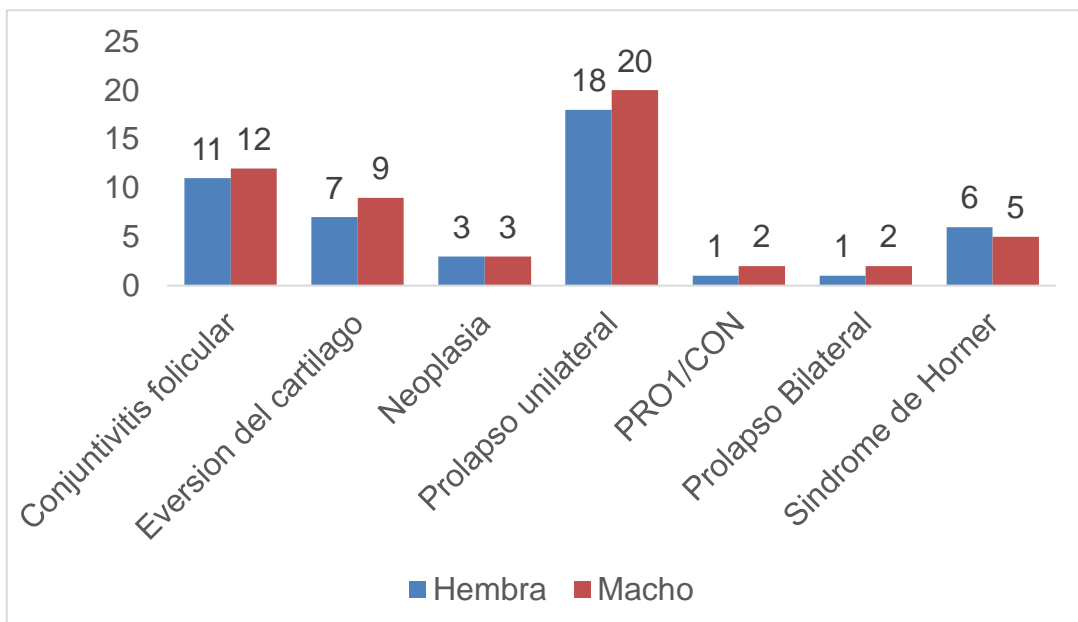


Figura 40 chi cuadrado de patologías de tercer párpado en relación a sexo.

Elaborado por: La Autora

Los resultados del análisis de chi-cuadrado indican que no existe una asociación estadísticamente significativa entre las patologías del tercer párpado y el sexo de los caninos en las clínicas Zoomedikal y Animalopolis. Este resultado implica que la variable de sexo no contribuye de manera sustancial a la variabilidad observada en la presencia de estas patologías oftálmicas.

4.4.2 Relación de las patologías del tercer párpado con la variable razas.

		Tabla cruzada																										
		Bassett hound	beagle	boston terrier	Bóxer	Bull dog francés	Bull dog francés	bull dog inglés	Bull dog inglés	bull dog inglés	Bulldog inglés	chihuahua	Cocker	french	Golden retriver	Husky	Maltés	mastin	mestizo	Pekinés	Pitbull	Pug	San Bernardo	shit zu	Teckel	Yorki		
Patologías del tercer párpado	Conjuntivitis foliular	0	1	1	0	0	1	0	1	1	1	2	2	2	0	1	1	1	0	0	0	3	0	2	0	3	23	
	Eversion del cartilago	0	1	0	1	1	0	0	0	0	0	1	1	0	1	0	0	0	1	2	0	0	0	5	2	0	16	
	Neoplasia	0	1	0	0	0	1	0	0	1	0	0	0	1	0	1	0	0	1	0	0	0	0	0	0	0	0	6
	Prolapso	0	0	1	0	0	0	0	0	0	0	0	0	0	0	0	0	0	0	0	0	0	0	0	0	0	0	1
	Prolapso unilateral	0	3	2	2	1	2	0	2	2	0	0	2	1	1	4	0	0	1	2	0	2	0	8	1	1	37	
	PRO1/CON	0	0	0	0	0	0	1	0	1	0	0	0	0	0	0	0	0	0	0	0	0	0	0	1	0	0	3
	Prolapso Bilateral	0	0	0	0	0	1	0	0	0	0	0	0	0	0	1	0	0	0	0	0	1	0	0	0	0	0	3
	Síndrome de Horner	1	1	0	1	0	0	0	0	0	0	0	0	0	0	1	2	0	0	2	1	0	0	2	0	0	0	11
Total	1	7	4	4	2	5	1	3	5	1	3	5	4	3	9	1	1	5	5	5	1	5	2	16	3	4	100	

La tabla de contingencia muestra la relación entre las patologías del tercer párpado y la raza de los caninos en las clínicas Zoomedikal y Animalopolis. Los resultados del análisis de chi-cuadrado indican una asociación significativa entre estas. En términos prácticos, esto sugiere que la presencia de patologías en el tercer párpado varía de manera estadísticamente significativa según la raza de los caninos estudiados.

Al desglosar la tabla, se observa que ciertas razas como Shitzu, Bull dog inglés, Husky, y Bull dog francés, presentan un número considerable de casos con patologías del tercer párpado. Por otro lado, algunas razas como Bassett Hound, Boston Terrier, y Maltés muestran menos casos. Esto indica que existe una distribución diferencial de estas patologías entre las razas caninas consideradas.

4.4.3 Relación de las patologías del tercer párpado con la variable edad.

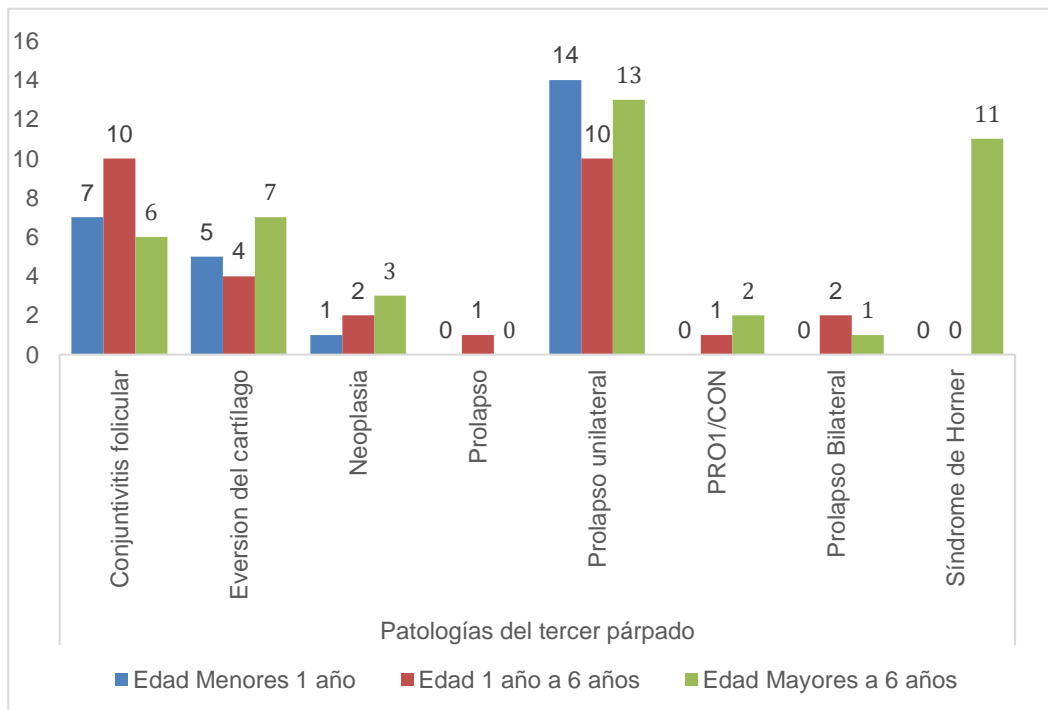


Figura 41 Chi cuadrado de patologías de tercer párpado por edad.
Elaborado por: La Autora

La tabla cruzada que examina la relación entre las patologías del tercer párpado y la edad de los caninos en las clínicas Zoomedikal y Animalopolis sugiere una asociación significativa entre estas variables. Esto indica que la incidencia de patologías en el tercer párpado varía de manera notable según la edad de los caninos estudiados.

Al analizar en detalle, se observa que los caninos mayores de 6 años presentan proporciones más altas de casos de patologías del tercer párpado en comparación con los caninos de 1 año a 6 años y menores de 1 año. Esta variación sugiere que la edad intermedia se correlaciona de manera más significativa con la presencia de estas patologías oftálmicas.

4.4.4 Relación de las patologías del tercer párpado con la variable tenencia.

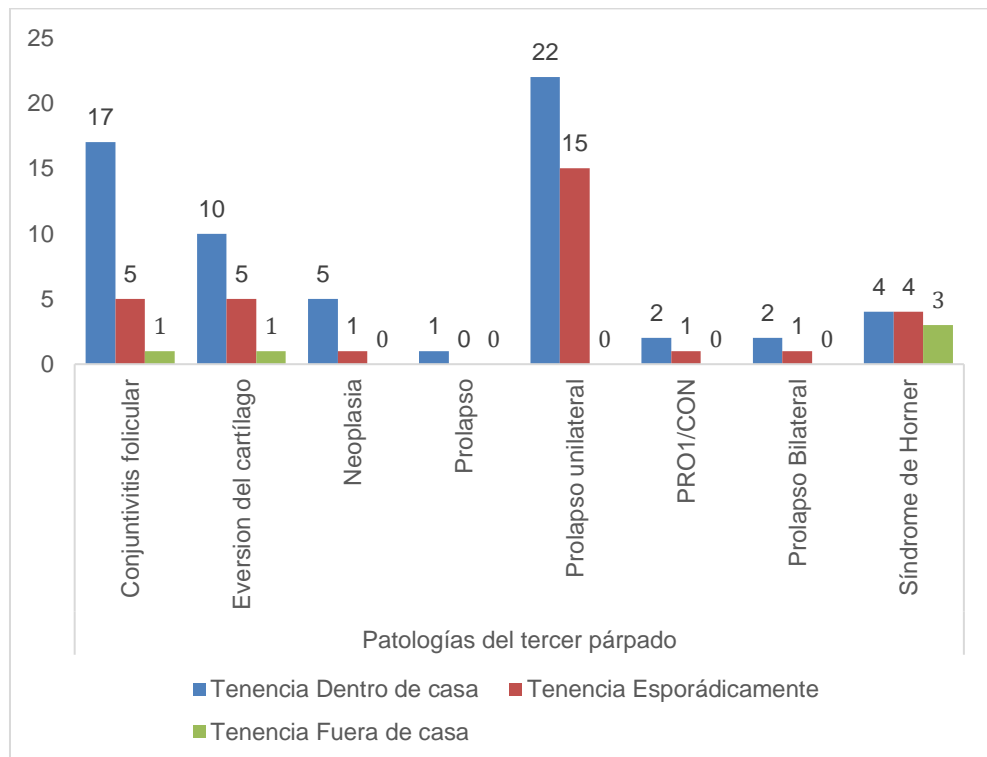


Figura 42 chi cuadrado chi cuadrado de patologías de tercer párpado por tenencia.

Elaborado por: La Autora

La tabla de contingencia que examina la relación entre las patologías del tercer párpado y la tenencia de los caninos ("Dentro de casa", "Esporádicamente", "Fuera de casa") en las clínicas Zoomedikal y Animalopolis sugiere que no hay una asociación estadísticamente significativa entre estas variables. Lo cual indica que, la forma en que los caninos son tenidos no parece influir de manera significativa en la incidencia de patologías del tercer párpado en esta muestra.

Al explorar los números en la tabla, se observa que no hay patrones claros que indiquen una preferencia por un tipo específico de tenencia en relación con las patologías del tercer párpado. Los valores de p obtenidos de las pruebas de chi-cuadrado respaldan la falta de asociación significativa entre estas variables.

5. DISCUSIÓN

En el presente estudio, los resultados obtenidos destacan que el prolapso del tercer párpado (unilateral) o membrana nictitante fue diagnosticado en un 41 % de todos los caninos evaluados con patologías del tercer párpado. Asimismo, se identificó que el 3 % de los pacientes presentaron prolapso del tercer párpado de manera bilateral, consolidando esta patología como la más frecuente entre los pacientes atendidos en el área de oftalmología. Estos resultados corroboran las conclusiones de autores como Slatter D. (2005) y Plummer C. (2008), quienes también han señalado que el prolapso del tercer párpado tiende a afectar predominantemente un solo ojo y raramente ambos, siendo la patología más frecuente en el tercer párpado, también se observó que, en relación con la edad de los pacientes caninos que presentaron prolapso del tercer párpado, el grupo de mayores de 6 años mostró el porcentaje más alto, alcanzando el 36 %. Este hallazgo contrasta con las afirmaciones de los autores previamente mencionados, quienes indican una prevalencia de prolapso del tercer párpado se presenta normalmente en caninos menores de un año.

En cuanto al sexo en este estudio 55 % fueron machos mientras que el 45 % fueron hembras, dando como resultado una ligera diferencia porcentual de prevalencia respecto a la variable sexo, mientras A diferencia de los autores mencionados en el estudio de Mazzuchelli et al. (2012), como (Plummer C, 2008) quienes manifestaron que no identificaron ninguna predisposición sexual específica, los resultados de su investigación revelaron una mayor incidencia en machos, representando el 65 %, en comparación con las hembras, que constituyeron el 35 %. Este hallazgo subraya una diferencia significativa en la distribución de la patología entre los géneros, planteando la posibilidad de factores distintivos que podrían contribuir a la variabilidad observada.

En este estudio sobre la predisposición racial en caninos con patologías del tercer párpado, se observó que las razas braquicéfalas, cuya estructura anatómica provoca una exposición notoria de los ojos y una caída constante de los párpados, presentaron la mayor predisposición. El Shitzu encabezó la lista con un 16 %, representando el porcentaje más alto, seguido por el Bull dog inglés con un 10 %, Otras razas como el Bóxer, Mastín napolitano, San Bernardo, Bull dog francés, entre otras, también mostraron una predisposición considerable. Estos resultados concuerdan con las conclusiones de autores como Flores et al. (2008) y Junaid et al. (2020), quienes establecen la existencia de una predisposición genética en perros braquicéfalos y señalan las estructuras anatómicas específicas de algunas razas como factores que contribuyen a las patologías del tercer párpado.

En la población estudiada, los casos de neoplasias mostraron una mayor prevalencia en el grupo de caninos de mayor edad, alcanzando un 50 % en comparación con el grupo de 1 a 6 años (33 %) y el grupo de menores de 1 año (17 %). Estos resultados indican que las neoplasias tienden a presentarse en pacientes caninos de mayor edad, respaldando la observación de Raymundi A. (2023), quien señaló que los tumores en los párpados son especialmente comunes en perros de edad avanzada.

6. CONCLUSIONES Y RECOMENDACIONES

6.1 Conclusiones

Los resultados no mostraron una predisposición sexual específica en las patologías del tercer párpado en caninos. Aunque hubo una leve diferencia entre machos y hembras, esta disparidad no afecta significativamente la prevalencia de las patologías, sugiriendo una distribución equitativa entre ambos géneros en su manifestación oftálmica.

Los resultados de la investigación señalan una clara conexión entre ciertas razas y las patologías del tercer párpado, indicando una predisposición genética. Esto sugiere que ciertas razas están más propensas a desarrollar problemas específicos en el tercer párpado debido a su anatomía. Esta identificación de la relación entre factores genéticos y estas patologías proporciona información valiosa para comprender las tendencias de salud ocular en perros de diferentes razas, siendo crucial para la prevención y manejo veterinario de estas afecciones.

El prolapso del tercer párpado sobresalió como la patología más recurrente en la población estudiada, indicando una prevalencia notable de esta condición ocular en la muestra analizada. No obstante, se observó que esta patología era más prevalente en el grupo de caninos mayores de 6 años, lo que sugiere una posible relación entre la edad avanzada y la incidencia del prolapso del tercer párpado.

El análisis de las patologías del tercer párpado en relación con la variable de tenencia no reveló una asociación estadísticamente significativa entre ambas. Este descubrimiento indica que la manera en que los caninos son tenidos no influye de manera considerable en la incidencia de patologías del tercer párpado en la muestra estudiada.

La identificación precisa de patologías oftálmicas se basa en un exhaustivo examen clínico, que implica una revisión detallada del globo ocular para establecer un diagnóstico certero o descartar patologías. El examen oftalmológico específico complementa este proceso, permitiendo un análisis profundo de las estructuras oculares. A medida que se abordan diversas problemáticas oculares, se aplican pruebas complementarias adaptadas a la naturaleza específica del problema detectado, ofreciendo una visión integral para la evaluación y manejo de la salud ocular en caninos.

6.2 Recomendaciones

Se recomienda ampliar la investigación para permitir una evaluación más detallada de las patologías del tercer párpado en caninos. Esta extensión temporal facilitaría un análisis preciso de los factores que afectan la prevalencia de estas afecciones oftálmicas. Además, permitiría explorar tendencias a lo largo del tiempo y abordar una variedad más amplia de situaciones clínicas, enriqueciendo así la comprensión global de estas patologías en el contexto canino.

Un aspecto de suma importancia que emergió durante el curso de esta investigación, y que lamentablemente no fue llevado a cabo, se centra en el diagnóstico integral de las patologías asociada a las patologías del tercer párpado ya presentes en los pacientes. Sería sumamente beneficioso y esencial explorar estas afecciones mediante una combinación de exámenes clínicos y oftalmológicos, con el objetivo de obtener un panorama completo de la salud ocular de los pacientes caninos en relación con el tercer párpado

La expansión de esta investigación sobre las patologías del tercer párpado hacia regiones de la sierra representaría un enfoque sumamente interesante, considerando que las razas de perros exhiben variaciones significativas de una región a otra. Dada la diversidad geográfica y climática del Ecuador, las diferencias en la distribución de razas caninas podrían influir en la prevalencia y presentación de patologías oftálmicas específicas en comparación con las observadas en la costa ecuatoriana.

REFERENCIAS BIBLIOGRÁFICAS

- Bravo, V. (2013). *Enfermedades de resolución quirúrgica de la membrana nictitante o tercer párpado del perro*. Santiago. Obtenido de <https://repositorio.uchile.cl/bitstream/handle/2250/131877/Enfermedades-de-resolucion-quirurgica-de-la-membrana-nictitante-o-tercer-parpado-del-perro.pdf?sequence=1&isAllowed=y>
- Castells, E., & Rómulo, J. (2021). *Puntos clave de geriatría canina*. Grupo Asis. Obtenido de https://www.google.com.ec/books/edition/Puntos_clave_de_geriatr%C3%ADa_canina/MadHEAAAQBAJ?hl=es&gbpv=1&dq=Puntos+clave+de+geriatr%C3%ADa+canina&pg=PR6&printsec=frontcover
- Cerrada I, L. M. (2023). Follicular conjunctivitis in dogs: A retrospective study (2017-2022). *Veterinary Ophthalmology*, 2. Obtenido de <https://onlinelibrary.wiley.com/doi/epdf/10.1111/vop.13155>
- Chaux, A., Gaspar, F., Lopez, V., MAjartínez, S., Oyuelo, O., Rodriguez, O., & Velandia, Y. (2017). Corrección de un prolapso del tercer párpado mediante adenopexia en un canino. *REDVET. Revista Electrónica de Veterinaria*, vol. 18, 1-7. Obtenido de <https://www.redalyc.org/pdf/636/63653574028.pdf>
- Dauvergne, C., & Desachy, F. (2018). *Enciclopedia familiar del perro*. De vicci.
- David M. Vail, D. H. (2022). *Withrow y MacEwen Oncología clínica de pequeños animales, 6.a ed.* (G. Asis, Ed.) Zaragoza. Obtenido de https://www.google.com.ec/books/edition/Withrow_y_MacEwen_Oncolog%C3%ADa_cl%C3%ADnica_de/W-53EAAAQBAJ?hl=es&gbpv=1
- Donohue, L., Mack, Z., & Ledbetter, E. (2022). Surgical correction of third eyelid cartilage eversion in an Anglo-Nubian goat: A case report. *National library of medicine*. Obtenido de <https://www.ncbi.nlm.nih.gov/pmc/articles/PMC9354095/>
- Doroshov, J., Armitage, J., Tepper, J., & al., e. (2020). *Abeloff. Oncología clínica*. Barcelona: Elsevier Health Sciences.
- Echeverry Bonilla, D. F., & Buriticá Gaviria, E. F. (2007). *CARCINOMA DE CELULAS ESCAMOSAS EN UN PACIENTE CANINO*. Medellín. Obtenido de <https://www.redalyc.org/pdf/3214/321428097003.pdf>
- Fawcett, A., Barrs, V., Awad, M., Child, G., & al., e. (2019). Consequences and Management of Canine Brachycephaly in Veterinary Practice: Perspectives from Australian Veterinarians and Veterinary

- Specialists. *Animals (Basel)*, 9(1): 3. Obtenido de <https://www.mdpi.com/2076-2615/9/1/3>
- Flores, E., Bastías, A., Bahamondes, J., Cattaneo, G., & al, e. (2008). Adenoma de la glándula del tercer párpado en el perro. *Avances en ciencias veterinarias*. Obtenido de <https://avancesveterinaria.uchile.cl/index.php/ACV/article/view/9077>
- Flores, E., Cattaneo, G., Bastías, A., Gonzalez, C., Bahamondes, F., & Grimau. (2008). *Adenoma de la glándula del tercer párpado en perros*.
- Fossum, T. W. (2019). *Cirugía en pequeños animales 5ta ed*. Arizona. Obtenido de https://www.google.com.ec/books/edition/Cirug%C3%ADa_en_peque%C3%B1os_animales/48nSDwAAQBAJ?hl=es&gbpv=1
- Galán Rodríguez, A., Morgaz Rodríguez, J., & Muñoz Rascón, P. (2021). *Manual clínico del perro y el gato*. España: Elsevier España, S.L.U. Obtenido de https://www.google.com.ec/books/edition/Manual_cl%C3%ADnico_d_el_perro_y_el_gato/SacxEAAAQBAJ?hl=es&gbpv=1&dq=%C3%BAvea+en+perros&pg=PA262&printsec=frontcover
- Gelatt, K. N. (Octubre de 2022). Eye Structure and Function in Dogs. Florida. Obtenido de <https://www.msdsvetmanual.com/dog-owners/eye-disorders-of-dogs/eye-structure-and-function-in-dogs>
- Gómez, N. V., & Feijoó, S. (2020). *Clínica Médica de animales pequeños 1*. (Eudeba, Ed.) Buenos aires. Obtenido de https://www.google.com.ec/books/edition/Cl%C3%ADnica_m%C3%A9dica_de_animales_peque%C3%B1os_l/d-P8DwAAQBAJ?hl=es&gbpv=1&dq=eversion+del+cartilago&pg=PA543&printsec=frontcover
- Grahn, B., Mayer, M., & Sandmeyer, L. (2007). Diagnostic ophthalmology. Bilateral preganglionic Horner's syndrome. *Can Vet J*. Obtenido de <https://www.ncbi.nlm.nih.gov/pmc/articles/PMC1852606/>
- Hassaan, M. K. (8 de diciembre de 2021). The Animal Eye Anatomy and Development. Egipto. Obtenido de <https://actascientific.com/ASVS/pdf/ASVS-04-0267.pdf>
- Heinrich, C. (2015). Assessing canine conjunctivitis. *Vet times*, 14-15. Obtenido de <https://www.vettimes.co.uk/app/uploads/wp-post-to-pdf-enhanced-cache/1/assessing-canine-conjunctivitis.pdf>
- Junaid Mehraj Lone, B. N. (2020). Surgical correction of a unilateral cherry eye in a bull dog using Morgan's pocket technique. *The pharma*

innovation. Obtenido de file:///C:/Users/mirya/Downloads/S-9-7-7-927.pdf

KN, G. (2013). *Veterinary ophthalmology 5th ed.* Oxford.

König, H. E., & Liebich, H.-G. (2005). *Anatomía de los Animales Domésticos* (2da. ed.). Madrid: Editorial Médica Panamericana S.A.
Obtenido de
https://www.google.com.ec/books/edition/Anatom%C3%ADa_de_los_Animales_Dom%C3%A9sticos/_1OEdvC5a98C?hl=es&gbpv=1

Laguna, F., & Sanz, F. (2021). *Oftalmología 3D en el perro*. Zaragoza: Grupo Asis.

Laguna, F., & Sanz, F. (2021). *Oftalmología 3D en el perro*. Zaragoza.

Lau-Choleón, J. C. (2002). Aplicación de la técnica quirúrgica de trabeculectomía para el tratamiento del aumento de la presión intraocular en caninos. Perú. Obtenido de
https://cybertesis.unmsm.edu.pe/bitstream/handle/20.500.12672/1235/Lau-choleon_gj.pdf?sequence=1&isAllowed=y

López, J. L. (2020). *Anatomía clínica del perro y el gato*.

Maggs D, M. P. (2007). *Slatter's fundamentals of veterinary ophthalmology. 4th ed.* Missouri: Saunders.

Martin, C., Pickett, P., & Spiess, B. (2019). *Ophthalmic Disease in Veterinary Medicine 2nd Edition*. Boca Raton: CRC Press.

Merelo, G. F. (16 de septiembre de 2022). Frecuencia de patologías oftalmológicas presentadas en caninos y felinos atendidos en dos clínicas veterinarias sector norte de Guayaquil. Guayaquil, Ecuador. Obtenido de <http://201.159.223.180/bitstream/3317/19378/1/T-UCSG-PRE-TEC-CMV-137.pdf>

MeteoBlue. (octubre de 2023). *Datos climáticos y meteorológicos históricos simulados para Guayaquil*. Obtenido de
https://www.meteoblue.com/es/tiempo/historyclimate/climatemodelled/guayaquil_ecuador_3657509

Morales, V. A. (2012). *Neurología Canina y Felina*. Barcelona: multimédica. Obtenido de
<https://www.berri.es/pdf/NEUROLOGIA%20CANINA%20Y%20FELINA/9788496344464>

Plummer C, K. M. (2008). *Veterinary ophthalmology*. Estados unidos .

Ponce, I. K. (2021). *Uso del test Schirmer y rosa de bengala en el diagnóstico temprano de queratoconjuntivitis seca en caninos, en el*

distrito y provincia de Huánuco. Huánuco. Obtenido de <https://repositorio.unheval.edu.pe/bitstream/handle/20.500.13080/6817/TMV00329L94.pdf?sequence=1&isAllowed=y>

Raymundi A, M. B. (2023). Prolapse of the third eyelid gland in dogs. *Seven editora*.

Romairone Durarte, A., & Cartagena Albertus, J. C. (2021). *Oncología en animales geriátricos con casos clínicos*. Zaragoza: Grupo Asis. Obtenido de https://www.google.com.ec/books/edition/Oncolog%C3%ADa_en_animales_geri%C3%A1tricos_con/GadHEAAQBAJ?hl=es&gbpv=1

Rothman, K. J. (2002). *Epidemiology: An Introduction*. New York: Oxford University Press.

S. Mazzucchelli, M. D.-T. (2012). Retrospective study of 155 cases of prolapse of the nictitating membrane gland in dogs. *ResearchGate*. Obtenido de <file:///C:/Users/mirya/Downloads/Retrospectivestudyof155casesofprolapseofthenictitatingmembraneglandindogs.pdf>

Schaer, M. (2006). *Medicina clínica del perro y gato*. Barcelona.

Sisson, S. G. (1985). *Anatomía de los animales domésticos 5a edición*. Barcelona .

Slatter. (1992). *Fundamentos de oftalmología veterinaria*. Buenos Aires.

Slatter, D. (2005). *Slatter, D. Fundamentos de oftalmologia veterinária*. São Paulo.

Soberano, A., & Barboza de Nardi, A. (2021). *Neoplasias cutáneas en perros y gatos*. Zaragoza, España. Obtenido de https://www.google.com.ec/books/edition/Neoplasias_cut%C3%A1neas_en_perros_y_gatos/S6dHEAAQBAJ?hl=es&gbpv=1&dq=neoplasias+en+ojo+en+perros&pg=PT159&printsec=frontcover

Taidy Marina Delgado Camacho, D. M. (2022). *Prevalencia de queratoconjuntivitis seca mediante la prueba de schirmer en caninos de 1- 5 años del distrito nacional*. Santo Domingo. Obtenido de <https://repositorio.unphu.edu.do/bitstream/handle/123456789/4323/Prevalencia%20de%20queratoconjuntivitis%20seca%20mediante%20la%20prueba%20de%20schirmer%20en%20caninos%20de%201-5%20a%C3%B1os%20del%20distrito%20nacional%20Taidy%20Marina%20Delgado%20Camac>

Tiempo.com. (2023). *tiempo3.com*. Obtenido de <https://www.tiempo3.com/south-america/ecuador/guayas/guayaquil>

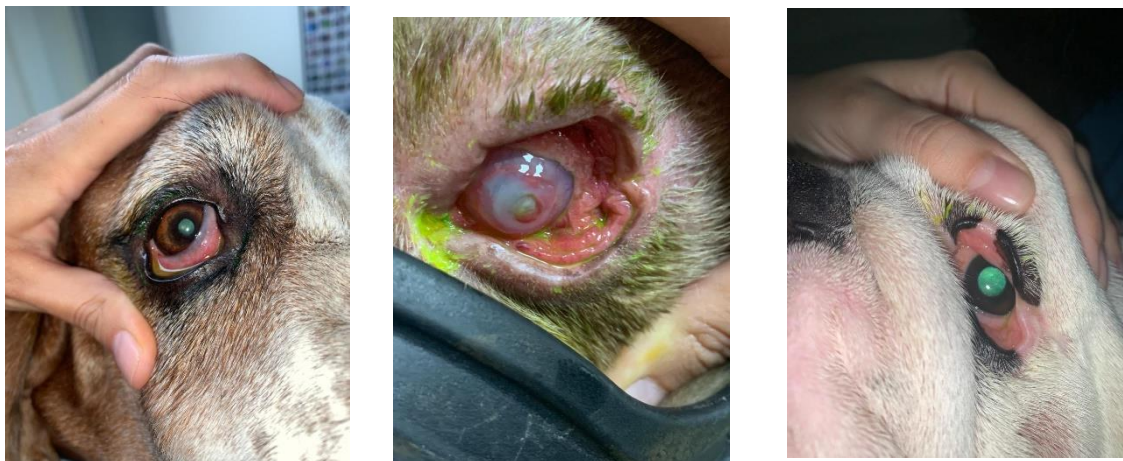
- Tista, J., Trejo, M., & Velasco, A. (2020). *Anatomía, fisiología, patologías y algunas de las cirugías del globo ocular en perros y gatos*. México. Obtenido de https://www.fmvz.unam.mx/fmvz/publicaciones/archivos/Globo_Ocular.pdf
- Tobias, K., & Johston, S. (2023). *Cirugía veterinaria de pequeños animales, 2.aed.* (G. Asis, Ed.) Zaragoza, España. Obtenido de https://www.google.com.ec/books/edition/Cirug%C3%ADa_veterinaria_de_peque%C3%B1os_animal/lq_YEAAAQBAJ?hl=es&gbpv=1
- Tobias, K., & Johston, S. (2023). *Cirugía veterinaria en pequeños animales 2da edición*. Grupo Asis.
- Vetclan. (26 de julio de 2018). *Vetclan*. Obtenido de <https://www.vetclan.com/el-ojo-rojo-posibles-causas/#:~:text=Quemosis%3A%20es%20la%20presencia%20de,puede%20ser%20primaria%20o%20secundaria.>
- Vetstreet. (2013). *vetlearn*. Obtenido de https://vetfolio-vetstreet.s3.amazonaws.com/92/665620a2a511e2b140005056ad4734/file/Gu%C3%ADaDeCuidado_ExamenOftalmol%C3%B3gico.pdf
- Weidner, A. (2021). Allergic Conjunctivitis in Dogs and Cats. *Veterinary Partner*. Obtenido de <https://veterinarypartner.vin.com/default.aspx?pid=19239&id=10517463>
- Winter, A., & Moses, M. (2023). *Manual Merck de veterinaria*. (G. Asis, Ed.) Estados Unidos. Obtenido de https://www.google.com.ec/books/edition/Manual_Merck_de_Veterinaria/zpDUEAAAQBAJ?hl=es&gbpv=1
- Young, C. N. (2022). Horner's Syndrome in Cats and Dogs. *Veterinary Partner*. Obtenido de <https://veterinarypartner.vin.com/default.aspx?pid=19239&id=4951369>
- Zwueste, D., & Grahn, B. (2019). A review of Horner's syndrome in small animals. *Can Vet J*. Obtenido de <https://www.ncbi.nlm.nih.gov/pmc/articles/PMC6294019/>

Anexo 2. Patologías del tercer párpado en pacientes diagnosticados en las dos clínicas veterinarias en Guayaquil

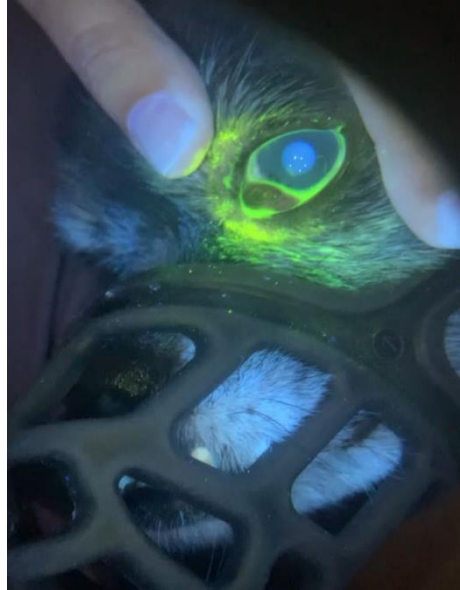
Prolapso del tercer párpado



Conjuntivitis folicular



Eversión del cartílago



Síndrome de Horner



Neoplasia del tercer párpado



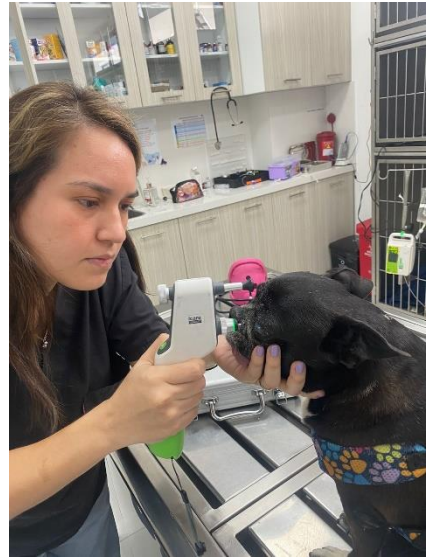
Prolapso del tercer párpado (bilateral)



Anexo 3. Test complementarios y pruebas de chi cuadrado



Test de Schirmer



Test de fluoresceína



Test de fluoresceína



Exploración del fondo del ojo con oftalmoscopio



Examen ocular con lámpara de hendidura

Tabla cruzada

Recuento

		Sexo		Total
		Hembra	Macho	
Patologías del tercer párpado	Conjuntivitis folicular	11	12	23
	Eversion del cartílago	7	9	16
	Neoplasia	3	3	6
	Prolapso unilateral	18	20	38
	PRO1/CON	1	2	3
	Prolapso Bilateral	1	2	3
	Síndrome de Horner	6	5	11
Total		47	53	100

Pruebas de chi-cuadrado

	Valor	df	Significación asintótica (bilateral)
Chi-cuadrado de Pearson	,799 ^a	6	0,992
Razón de verosimilitud	,810	6	0,992
N de casos válidos	100		

Prueba de Chi cuadrado / Patología

Tabla cruzada

		Edad			Total
		Menores 1 año	1 año a 6 años	Mayores a 6 años	
Patologías del tercer párpado	Conjuntivitis folicular	7	10	6	23
	Eversión del cartílago	5	4	7	16
	Neoplasia	1	2	3	6
	Prolapso unilateral	14	10	13	38
	PRO1/CON	0	1	2	3
	Prolapso Bilateral	0	2	1	3
	Síndrome de Horner	0	0	11	11
	total	27	30	43	100

Pruebas de chi-cuadrado

	Valor	df	Significación asintótica (bilateral)
Chi-cuadrado de Pearson	183,368 ^a	144	0,015
Razón de verosimilitud	127,012	144	0,842
N de casos válidos	100		

Prueba de Chi cuadrado / Patología del Tercer parpado

Pruebas de chi-cuadrado

	Valor	df	Significación asintótica (bilateral)
Chi-cuadrado de Pearson	23,667 ^a	12	0,023
Razón de verosimilitud	28,896	12	0,004
N de casos válidos	100		

Prueba de Chi cuadrado / patología del tercer parpado con variable edad

Tabla cruzada

		Tenencia			Total
		Dentro de casa	Esporádicamente	Fuera de casa	
Patologías del tercer párpado	Conjuntivitis folicular	17	5	1	23
	Eversion del cartílago	10	5	1	16
	Neoplasia	5	1	0	6
	Prolapso unilateral	22	15	0	38
	PRO1/CON	2	1	0	3
	Prolapso Bilateral	2	1	0	3
	Síndrome de Horner	4	4	3	11
	total	63	32	5	100

Pruebas de chi-cuadrado

	Valor	df	Significación asintótica (bilateral)
Chi-cuadrado de Pearson	17.533 ^a	12	0.131
Razón de verosimilitud	14.703	12	0.258
N de casos válidos	100		

Prueba de Chi cuadrado / Patología de tercer párpado por tenencia

DECLARACIÓN Y AUTORIZACIÓN

Yo, **MANOSALVAS OCAÑA, ANDREA ALEJANDRA**, con C.C: # 0931318588 autor/a del **Trabajo de Titulación: Prevalencia de patologías de tercer párpado o membrana nictitante en Canis lupus familiaris diagnosticados en dos clínicas veterinarias de la ciudad de Guayaquil**, previo a la obtención del título de **Médica Veterinario** en la Universidad Católica de Santiago de Guayaquil.

1.- Declaro tener pleno conocimiento de la obligación que tienen las instituciones de educación superior, de conformidad con el Artículo 144 de la Ley Orgánica de Educación Superior, de entregar a la SENESCYT en formato digital una copia del referido trabajo de titulación para que sea integrado al Sistema Nacional de Información de la Educación Superior del Ecuador para su difusión pública respetando los derechos de autor.

2.- Autorizo a la SENESCYT a tener una copia del referido trabajo de titulación, con el propósito de generar un repositorio que democratice la información, respetando las políticas de propiedad intelectual vigentes.

Guayaquil, **14 de febrero de 2024**

Nombre: **Manosalvas Ocaña, Andrea Alejandra**

C.C: **0931318588**

REPOSITORIO NACIONAL EN CIENCIA Y TECNOLOGÍA

FICHA DE REGISTRO DE TESIS/TRABAJO DE TITULACIÓN

TEMA Y SUBTEMA:	Prevalencia de patologías de tercer párpado o membrana nictitante en Canis lupus familiaris diagnosticados en dos clínicas veterinarias de la ciudad de Guayaquil		
AUTOR(ES)	Andrea Alejandra, Manosalvas Ocaña		
REVISOR(ES)/TUTOR(ES)	Dr. Alarcón Ormaza, Joubert Edgar M. Sc.		
INSTITUCIÓN:	Universidad Católica de Santiago de Guayaquil		
FACULTAD:	Educación Técnica Para el Desarrollo		
CARRERA:	Carrera de Medicina Veterinaria y Zootecnia		
TITULO OBTENIDO:	Médica Veterinaria Zootecnista		
FECHA DE PUBLICACIÓN:	14 de febrero de 2024	No. DE PÁGINAS:70	71
ÁREAS TEMÁTICAS:	Medicina Veterinaria, Conjuntivitis		
PALABRAS CLAVES/ KEYWORDS:	prolapso, glándula lacrimal, caninos, tercer párpado, glándula nictitante. prolapse, lacrimal gland, canines, third eyelid, nictitating gland.		

RESUMEN/ABSTRACT

El tercer párpado en perros, también conocido como membrana nictitante, es una estructura membranosa situada en la esquina interna del ojo, desempeñando funciones cruciales en la protección y lubricación ocular. A pesar de su importancia, puede verse afectado por diversas patologías, incluyendo prolapso, conjuntivitis folicular, entre otras. Este estudio, de naturaleza observacional, descriptiva y correlacional, tiene como objetivo principal determinar la prevalencia de patologías del tercer párpado en caninos diagnosticadas en dos clínicas veterinarias en Guayaquil. La muestra abarcó a 270 caninos atendidos en estas clínicas a los cuales se les realizó exámenes minuciosos clínicos y oftalmológicos, posteriormente se recopiló la información de las patologías y variables como edad, sexo, tenencia y raza. El resultado de la prevalencia dio como resultado que del 100 % de la población de estudio, el 37 % presentaron patologías del tercer párpado. Se empleó el análisis de chi-cuadrado y el programa SPSS con la finalidad de obtener un análisis estadístico detallado. Los resultados revelaron que la variable sexo no contribuyó significativamente a la variabilidad observada en la presencia de patologías oftálmicas. El prolapso del tercer párpado se destacó como la patología más frecuente. En cuanto a la edad, el grupo de mayores de 6 años mostró el porcentaje más alto.

The third eyelid in dogs, also known as the nictitating membrane, is a membranous structure located in the inner corner of the eye, performing crucial functions in eye protection and lubrication. Despite its importance, it can be affected by various pathologies, including prolapse, follicular conjunctivitis, among others. This observational, descriptive, and correlational study aims to determine the prevalence of third eyelid pathologies in canines diagnosed in two veterinary clinics



in Guayaquil. The sample included 270 canines treated in these clinics, who underwent thorough clinical and ophthalmological examinations. Subsequently, information on pathologies and variables such as age, sex, ownership, and breed was collected. The prevalence result showed that out of the 100 % of the study population, 37 % presented third eyelid pathologies. Chi-square analysis and the SPSS program were used to obtain a detailed statistical analysis. The results revealed that the sex variable did not contribute significantly to the observed variability in the presence of ophthalmic pathologies. Prolapse of the third eyelid stood out as the most frequent pathology, regarding age, the over 6 years group showed the highest percentage.

ADJUNTO PDF:	<input type="checkbox"/>	SI	<input type="checkbox"/>	NO
CONTACTO CON AUTOR/ES:	CON	Teléfono: +593 997557934	E-mail: <u>Andrea.manosalvas@cu.ucsg.edu.ec</u> <u>Joubert.alarcon@cu.ucsg.edu.ec</u>	
CONTACTO CON LA INSTITUCIÓN (COORDINADOR DEL PROCESO UTE)::	CON LA DEL	Nombre: Carvajal Capa Melissa Joseth		
		Teléfono: +593-958726999		
		E-mail: melissa.carvajal01@cu.ucsg.edu.ec		
SECCIÓN PARA USO DE BIBLIOTECA				
Nº. DE REGISTRO (en base a datos):				
Nº. DE CLASIFICACIÓN:				
DIRECCIÓN URL (tesis en la web):				